

به نام خدا



دانشگاه تهران

دانشکده مهندسی برق و کامپیوتر

# تمرین کامپیوتری ۲

مخابرات بی سیم

دکتر صباغیان

عرفان پناهی ۸۱۰۱۹۸۳۶۹

نیمسال دوم ۱۴۰۱-۰۲

# فهرست:

\*\*\* فایل مربوط به این تمرین کامپیوتری با نام Matlab\_810198369.mlx پیوست شده است.

چکیده ..... صفحه ۲ (لینک)

بخش ۱ ..... صفحه ۳ (لینک)

سوال ۱ ..... صفحه ۳ (لینک)

سوال ۲ ..... صفحه ۶ (لینک)

سوال ۳ ..... صفحه ۱۰ (لینک)

سوال ۴ ..... صفحه ۱۴ (لینک)

سوال ۵ ..... صفحه ۱۹ (لینک)

سوال ۶ ..... صفحه ۲۲ (لینک)

بخش ۲ ..... صفحه ۲۶ (لینک)

سوال ۱ ..... صفحه ۲۶ (لینک)

سوال ۲ ..... صفحه ۲۷ (لینک)

سوال ۳ ..... صفحه ۲۷ (لینک)

سوال ۴ ..... صفحه ۲۷ (لینک)

سوال ۵ ..... صفحه ۲۹ (لینک)

سوال ۶ ..... صفحه ۳۱ (لینک)

سوال ۷ ..... صفحه ۳۲ (لینک)

سوال ۸ ..... صفحه ۳۳ (لینک)

## چکیده: هدف از تمرین کامپیوتری ۲

هدف از انجام این تمرین آشنایی با تأثیرات کانال روی سیگنال دریافتی (اثر محو شوندگی) در گیرنده و تأثیر روی احتمال خطای سیستم است. به همین منظور در قسمت‌های مختلف پروژه راه حل‌های مختلفی که برای رفع این اثر استفاده می‌شود، مورد بررسی قرار می‌گیرد.

در بخش اول تمرین، یک کانال باند باریک در نظر گرفته می‌شود که در خروجی سیستم اثر محو شوندگی محسوس است. ابتدا بررسی می‌کنیم که در حالت عادی احتمال خطا چه مقدار است و سپس راه حل‌های مختلفی که باری رفع اثر محو شوندگی در این کانال استفاده می‌شود از جمله *Pulse position modulation*، تخمین اطلاعات کانال در گیرنده و فرستنده، دایورسیتی در زمان و کدینگ الموتی مورد بررسی قرار می‌گیرد. در هر قسمت از این بخش نمودار احتمال خطا را به صورت تحلیلی و شبیه‌سازی بدست می‌آوریم و سپس آن را با قسمت‌های دیگر مقایسه می‌کنیم.

در بخش دوم تمرین، یک کانال پهن باند در نظر گرفته می‌شود که قصد داریم در آن از سیستم *OFDM* برای ارسال و دریافت داده‌ها استفاده کنیم. در ابتدا پارامترهای مورد نیاز سیستم *OFDM* را بدست می‌آوریم و سپس سعی می‌کنیم با استفاده از روش‌های *Waterfilling*، همسانسازی و دایورسیتی در مکان اثر کانال را از بین ببریم. همچنین در نهایت سعی می‌کنیم اثر *Clipping* روی احتمال خطای سیستم *OFDM* را بررسی کنیم.

## بخش ۱: کانال باند باریک

یک سیستم وایرلس در نظر می‌گیریم. فرض می‌کنیم کانال باند باریک باشد و پس از نمونه برداری، سیگنال دریافتی در لحظه  $m$  به صورت رابطه زیر باشد:

$$y[m] = h[m]x[m] + \omega[m]$$

$$h[m] \sim \mathcal{CN}(0, 1)$$

$$\omega[m] \sim \mathcal{CN}(0, N_0)$$

سوال ۱. استفاده از مدولاسیون BPSK برای ارسال داده

قسمت الف. نمودار احتمال خطای بهینه بر حسب SNR در بازه  $[-20dB, 20dB]$

در این قسمت ابتدا رابطه احتمال خطای بهینه بر حسب SNR را بدست می‌آوریم، نکته قابل توجه این است که در سیستم BPSK، تصمیم‌گیری روی بخش حقیقی سیگنال دریافتی صورت می‌گیرد. در نتیجه در این قسمت توزیع‌های  $h[m]$  و  $\omega[m]$  را نرمال حقیقی در نظر می‌گیریم. با توجه به اینکه برای ارسال از مدولاسیون BPSK استفاده شده است،  $E_b = \frac{a^2}{2}$  است.

$$\gamma_b = \frac{E_b}{N_0} = \frac{a^2}{2 \left(\frac{N_0}{2}\right)} = \frac{a^2}{N_0}$$

$$\omega_r[m] = \text{Re}\{\omega[m]\}, \quad h_r[m] = \text{Re}\{h[m]\}, \quad y_r[m] = \text{Re}\{y[m]\}$$

$$\omega_r[m] \sim \mathcal{N}\left(0, \frac{N_0}{2}\right), \quad h_r[m] \sim \mathcal{N}\left(0, \frac{1}{2}\right)$$

$$f_{h_r}(h_r) = \frac{1}{\sqrt{2\pi \times \frac{1}{2}}} \exp\left(-\frac{h_r^2}{2 \times \frac{1}{2}}\right) = \frac{1}{\sqrt{\pi}} \exp(-h_r^2)$$

$$\begin{aligned} P_e &= \Pr\left(\underbrace{y_r[m] > 0 \mid x[m] = -a}_{\omega_r[m] > ah_r[m]}\right) \underbrace{\Pr(x[m] = -a)}_{\frac{1}{2}} \\ &\quad + \Pr\left(\underbrace{y_r[m] < 0 \mid x[m] = a}_{\omega_r[m] < -ah_r[m]}\right) \underbrace{\Pr(x[m] = a)}_{\frac{1}{2}} \\ &= \frac{1}{2} \Pr(\omega_r[m] > ah_r[m]) + \frac{1}{2} \Pr(\omega_r[m] < -ah_r[m]) \end{aligned}$$

$$\begin{aligned}
P_e &= \int_{-\infty}^{+\infty} \left[ \frac{1}{2} \underbrace{\Pr(\omega_r[m] > ah_r)}_{Q\left(\frac{ah_r}{\sqrt{\frac{N_0}{2}}}\right)} + \frac{1}{2} \underbrace{\Pr(\omega_r[m] < -ah_r)}_{Q\left(\frac{ah_r}{\sqrt{\frac{N_0}{2}}}\right)} \right] f_{h_r}(h_r) dh_r \\
&= \int_{-\infty}^{+\infty} Q\left(\frac{ah_r}{\sqrt{\frac{N_0}{2}}}\right) f_{h_r}(h_r) dh_r = \frac{1}{\sqrt{\pi}} \int_{-\infty}^{+\infty} Q\left(\frac{ah_r}{\sqrt{\frac{N_0}{2}}}\right) \exp(-h_r^2) dh_r \\
&\rightarrow P_e = \frac{1}{\sqrt{\pi}} \int_{-\infty}^{+\infty} Q(h_r \sqrt{2\gamma_b}) \exp(-h_r^2) dh_r
\end{aligned}$$

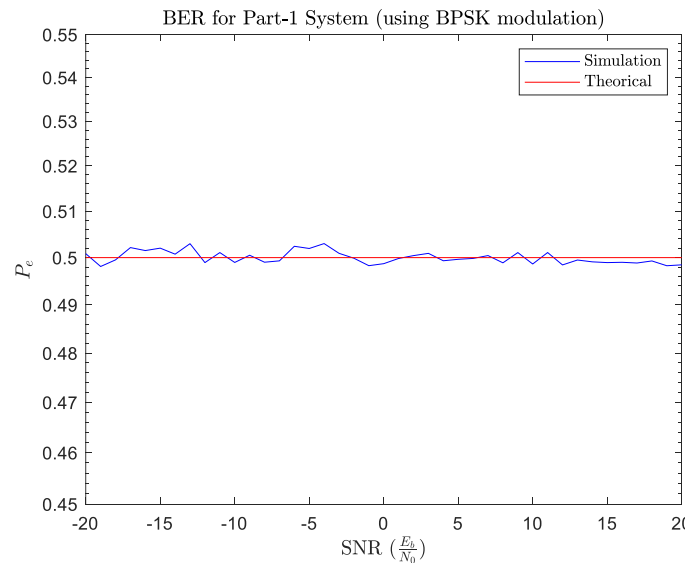
**نتیجه:** با توجه به نرخ تغییرات Q-function نسبت به آرگومانش (۹۵٪ احتمال در بازه  $3 < h_r \sqrt{2\gamma_b} < -3$  است) و اینکه  $|h_r \sqrt{2\gamma_b}| > 3$  است مقدار  $Q(h_r \sqrt{2\gamma_b})$  به ازای  $h_r < 0$ ، ۱ و به ازای  $h_r > 0$  خواهد بود. در نتیجه کران انتگرال  $-\infty$  تا ۰ تبدیل شده و احتمال خطای کل  $\frac{1}{2}$  خواهد شد.

حال می‌خواهیم به روش دیگری توجیه کنیم که چرا احتمال خطای کل  $\frac{1}{2}$  است. می‌دانیم که  $\omega_r[m] - ah_r[m]$  یا  $\omega_r[m] + ah_r[m]$  یک توزیع گوسی با واریانس  $\frac{N_0}{2} + a^2$  و میانگین صفر است. پس داریم:

$$\begin{aligned}
P_e &= \Pr\left(\underbrace{y_r[m] > 0}_{z_1[m] = \omega_r[m] - ah_r[m] > 0} \mid x[m] = -a\right) \underbrace{\Pr(x[m] = -a)}_{\frac{1}{2}} \\
&\quad + \Pr\left(\underbrace{y_r[m] < 0}_{z_2[m] = \omega_r[m] + ah_r[m] > 0} \mid x[m] = a\right) \underbrace{\Pr(x[m] = a)}_{\frac{1}{2}} = \frac{1}{2} Q(0) + \frac{1}{2} Q(0) = Q(0) = \frac{1}{2}
\end{aligned}$$

**روند شبیه‌سازی:** در این بخش ابتدا به تعداد  $10^5$  بیت عدد تصادفی ۰ و ۱ تولید می‌کنیم و با توجه به اینکه مدولاسیون از نوع BPSK است این بیت‌ها را با دامنه‌های  $\pm a$  ( $a = 1$ ) کدگذاری می‌کنیم. سپس کانالی تصادفی با توزیع  $h[m] \sim \mathcal{CN}(0, 1)$  تولید کرده و در SNR های مختلف، نویز را تولید کرده و بردار  $y[m] = h[m]x[m] + \omega[m]$  را بدست می‌آوریم و در نهایت تصمیم‌گیری را روی بخش حقیقی  $y[m]$  انجام می‌دهیم (چون مدولاسیون از نوع BPSK است).

حال به ازای  $SNR = -20:1:20 \text{ (dB)}$  نمودار احتمال خطای سیستم را رسم می‌کنیم. تصویر ۱-۱ نمودار احتمال خطای این قسمت با استفاده از شبیه‌سازی و روابط تحلیلی را نشان می‌دهد. همانطور که در این نمودار مشاهده می‌شود، با افزایش SNR احتمال خطای سیستم کاهش نمی‌یابد و بازیابی سیستم گیرنده کاملاً رندوم است.



تصویر ۱-۱: نمودار احتمال خطای بهینه سیستم در حالتی که از مدولاسیون BPSK استفاده شود.

**قسمت ب.** نمودار احتمال خطای بهینه بر حسب  $SNR$  - بدون در نظر گرفتن اثر محوشوندگی

حال مطابق با رابطه بدست آمده در قسمت الف، تنها انتگرال را کنار می‌گذاریم. در این صورت رابطه احتمال خطای سیستم با صرف نظر از اثر محوشوندگی به صورت زیر خواهد بود.

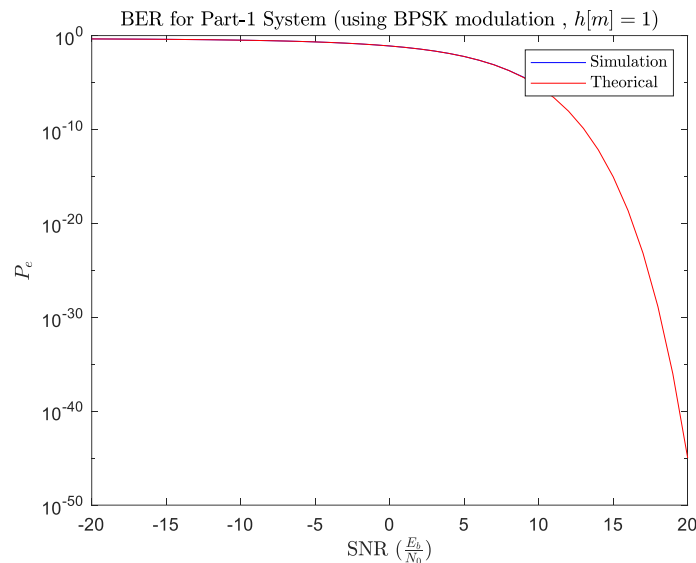
$$y[m] = x[m] + \omega[m]$$

$$\begin{aligned}
 P_e &= \Pr\left(\underbrace{y_r[m] > 0 \mid x[m] = -a}_{\omega_r[m] > a}\right) \underbrace{\Pr(x[m] = -a)}_{\frac{1}{2}} \\
 &\quad + \Pr\left(\underbrace{y_r[m] < 0 \mid x[m] = a}_{\omega_r[m] < -a}\right) \underbrace{\Pr(x[m] = a)}_{\frac{1}{2}} \\
 \rightarrow P_e &= \frac{1}{2} \underbrace{\Pr(\omega_r[m] > a)}_{Q\left(\frac{a}{\sqrt{\frac{N_0}{2}}}\right)} + \frac{1}{2} \underbrace{\Pr(\omega_r[m] < -a)}_{Q\left(\frac{a}{\sqrt{\frac{N_0}{2}}}\right)} = Q\left(\frac{a}{\sqrt{\frac{N_0}{2}}}\right) = Q(\sqrt{2\gamma_b})
 \end{aligned}$$

$$\text{without fading} \rightarrow P_e = Q(\sqrt{2\gamma_b})$$

همچنین در شبیه‌سازی این قسمت کاملاً مشابه با قسمت قبل عمل می‌کنیم با این تفاوت که ضرایب کانال در بردار دریافتی تأثیری ندارند و صرفاً نویز به سیگنال ارسالی اضافه می‌شود تا سیگنال دریافتی تعیین شود.

در نهایت نمودار احتمال خطا مطابق با تصویر ۱-۲ خواهد بود. همانطور که در این نمودار مشاهده می‌شود در نبود اثر محوشوندگی، احتمال خطای کانال با افزایش SNR کاهش یافته است.



تصویر ۱-۲: نمودار احتمال خطای بهینه سیستم در حالتی که از مدولاسیون BPSK استفاده شود و کانال محوشوندگی نداشته باشد ( $h[m] = 1$ ).

**قسمت ج. SNR مورد نیاز برای احتمال خطای  $10^{-6}$ ؛ در حالت بدون در نظر گرفتن اثر محوشوندگی**

رابطه مورد نیاز در این قسمت، در قسمت ب بدست آورده شد. حال می‌خواهیم SNR مورد نیاز (برحسب dB) را برای رسیدن به احتمال خطای  $10^{-6}$  بدست آوریم.

$$P_e = Q(\sqrt{2\gamma_b}) = 10^{-6} \rightarrow \gamma_b = \frac{Q^{-1}(10^{-6})^2}{2} = 11.2975 = \mathbf{10.5298 \text{ dB}}$$

**سوال ۲. استفاده از مدولاسیون Pulse Position برای ارسال داده**

**قسمت الف. نمودار احتمال خطای بهینه برحسب SNR در بازه  $[-20\text{dB}, 20\text{dB}]$  با استفاده از رابطه تئوری**

در این مدولاسیون برای ارسال ۰ و ۱ در دو بازه زمانی متوالی دو سمبل ارسال می‌کنیم. برای ارسال ۱، به ترتیب پالس‌های ۰ و  $\alpha$  و برای ارسال ۰، به ترتیب پالس‌های  $\alpha$  و ۰ ارسال می‌شود. به عبارت دیگر یک بردار به جای هر بیت ۰ و ۱ ارسال می‌کنیم. این

بردار برای بیت‌های ۰ و ۱ به صورت زیر است. (دقت شود با توجه به اینکه واریانس اثر محوشوندگی ۱ است، تأثیری در واریانس  $y[0]$  و  $y[1]$  ندارد.)

$$x = 0 \rightarrow \underline{y} = [\alpha, 0] \rightarrow y[0] \sim \mathcal{CN}(0, \alpha^2 + N_0), \quad y[1] \sim \mathcal{CN}(0, N_0)$$

$$x = 1 \rightarrow \underline{y} = [0, \alpha] \rightarrow y[1] \sim \mathcal{CN}(0, N_0), \quad y[0] \sim \mathcal{CN}(0, \alpha^2 + N_0)$$

همچنین برای تعیین آستانه تصمیم‌گیری به صورت زیر عمل می‌کنیم:

$$f(\underline{y}|x=0) \underset{\hat{x}=0}{\overset{\hat{x}=1}{\leq}} f(\underline{y}|x=1) \rightarrow \ln \left( \frac{f(\underline{y}|x=0)}{f(\underline{y}|x=1)} \right) \underset{\hat{x}=0}{\overset{\hat{x}=1}{\leq}} 0$$

$$\begin{aligned} \Delta \triangleq \ln \left( \frac{f(\underline{y}|x=0)}{f(\underline{y}|x=1)} \right) &= \ln \left( \frac{f(y[0]|x=0).f(y[1]|x=0)}{f(y[0]|x=1).f(y[1]|x=1)} \right) = \ln \left( \frac{e^{-\frac{(y[0])^2}{\alpha^2+N_0}}.e^{-\frac{(y[1])^2}{N_0}}}{e^{-\frac{(y[0])^2}{N_0}}.e^{-\frac{(y[1])^2}{\alpha^2+N_0}}} \right) \\ &= \ln \left( e^{\frac{\alpha^2((y[0])^2-(y[1])^2)}{N_0(\alpha^2+N_0)}} \right) = \alpha^2 \frac{(y[0])^2 - (y[1])^2}{N_0(\alpha^2 + N_0)} \end{aligned}$$

در نتیجه تصمیم‌گیری بر اساس  $y[0]$  و  $y[1]$  قابل تطبیق است.

$$\underset{\hat{x}=0}{\overset{\hat{x}=1}{(y[0])^2 \leq (y[1])^2}}$$

با توجه به اینکه  $y[0]$  و  $y[1]$  توزیع‌های گوسی مختلط دارند،  $(y[0])^2$  و  $(y[1])^2$  توزیع‌های نمایی دارند. (چون بخش حقیقی و موهومی توزیع‌های گوسی مختلط از هم مستقل و گوسی هستند، مجموع مربعات آن‌ها توزیع نمایی دارند.)

$$x = 0 \rightarrow \underline{y} = [\alpha, 0] \rightarrow \begin{cases} y[0] \sim \mathcal{CN}(0, \alpha^2 + N_0) \rightarrow (y[0])^2 \sim \text{Exp} \left( \lambda = \frac{1}{\alpha^2 + N_0} \right) \\ y[1] \sim \mathcal{CN}(0, N_0) \rightarrow (y[1])^2 \sim \text{Exp} \left( \lambda = \frac{1}{N_0} \right) \end{cases}$$

$$x = 1 \rightarrow \underline{y} = [0, \alpha] \rightarrow \begin{cases} y[0] \sim \mathcal{CN}(0, N_0) \rightarrow (y[0])^2 \sim \text{Exp} \left( \lambda = \frac{1}{N_0} \right) \\ y[1] \sim \mathcal{CN}(0, \alpha^2 + N_0) \rightarrow (y[1])^2 \sim \text{Exp} \left( \lambda = \frac{1}{\alpha^2 + N_0} \right) \end{cases}$$

حال با استفاده از توزیع‌های بالا احتمالاً خطا را بدست می‌آوریم:



$$\begin{aligned}
 P_e &= \Pr(\hat{x} = 0 \mid x = 1) \Pr(x = 1) + \Pr(\hat{x} = 1 \mid x = 0) \Pr(x = 0) \\
 &= \frac{1}{2} \Pr((y[1])^2 - (y[0])^2 > 0 \mid x = 1) + \frac{1}{2} \Pr((y[1])^2 - (y[0])^2 < 0 \mid x = 0)
 \end{aligned}$$

برای بدست آوردن احتمال بالا نیاز داریم توزیع اختلاف دو توزیع نمایی را بدانیم. لینک زیر احتمال این توزیع را به ما نشان می دهد.

- [probability - Pdf of the difference of two exponentially distributed random variables - Mathematics Stack Exchange](https://math.stackexchange.com/questions/1111111/probability-pdf-of-the-difference-of-two-exponentially-distributed-random-variables)

تصویر ۱-۳: تابع توزیع اختلاف دو توزیع نمایی را نشان می دهد.

Given that we know  $P(Z < 0) = P(Y < X) = \frac{\mu}{\mu + \lambda}$ , and correspondingly  $P(Y > X) = \frac{\lambda}{\mu + \lambda}$ , the above implies that the pdf for  $Y - X$  is

$$f(x) = \frac{\lambda\mu}{\lambda + \mu} \begin{cases} e^{\lambda x} & \text{if } x < 0 \\ e^{-\mu x} & \text{if } x \geq 0. \end{cases}$$

تصویر ۱-۳: تابع توزیع اختلاف دو توزیع نمایی،  $\mu = \frac{1}{E(Y)}$  و  $\lambda = \frac{1}{E(X)}$

$$\begin{aligned}
 \Pr\left(\underbrace{(y[1])^2}_X - \underbrace{(y[0])^2}_Y > 0 \mid x = 1\right) &= \frac{N_0}{N_0 + \alpha^2 + N_0} = \frac{N_0}{\alpha^2 + 2N_0} \\
 \Pr\left(\underbrace{(y[0])^2}_X - \underbrace{(y[1])^2}_Y > 0 \mid x = 0\right) &= \frac{2N_0}{N_0 + \alpha^2 + N_0} = \frac{N_0}{\alpha^2 + 2N_0}
 \end{aligned}$$

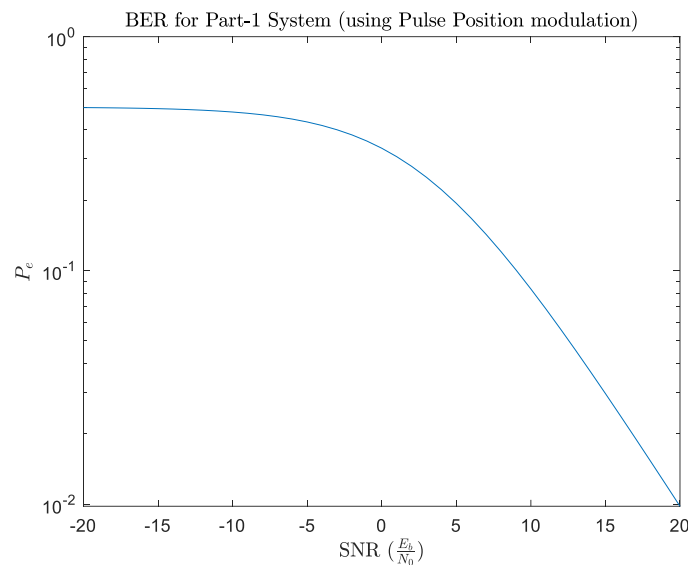
در نهایت احتمال خطا به صورت زیر بدست می آید:

$$\rightarrow P_e = \frac{1}{2} \frac{N_0}{\alpha^2 + 2N_0} + \frac{1}{2} \frac{N_0}{\alpha^2 + 2N_0} = \frac{N_0}{\alpha^2 + 2N_0} = \frac{1}{2 + \frac{\alpha^2}{N_0}} = \frac{1}{2 + SNR}$$

حال به ازای  $SNR = -20:20$  نمودار احتمال خطا را با استفاده از رابطه تئوری بالا را مطابق با تصویر ۱-۴ رسم می کنیم.

همانطور که در نمودار مشاهده می شود علی رغم وجود اثر محوشوندگی، سیستم در برابر این اثر نامطلوب عملکرد بهتری از قسمت

قبل دارد و احتمال خطا با افزایش  $SNR$  کاهش می یابد.



تصویر ۱-۴: نمودار احتمال خطای سیستم در حالتی که از مدولاسیون *Pulse Position* استفاده شود (تئوری)

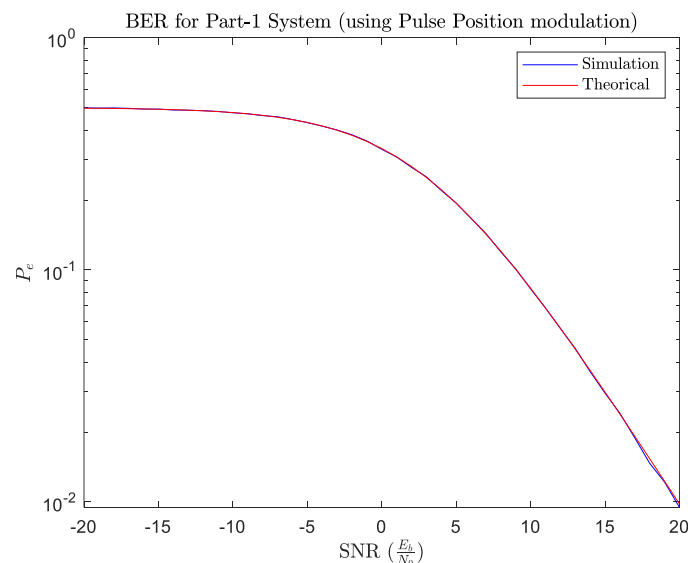
**قسمت ب.** نمودار احتمال خطای بهینه بر حسب  $SNR$  در بازه  $[-20dB, 20dB]$  با استفاده از شبیه سازی

در این قسمت می خواهیم با استفاده از شبیه سازی سیستم تصمیم گیری قسمت الف را پیاده سازی کنیم و نتایج را با نمودار ناشی از روابط تئوری مقایسه کنیم.

**روند شبیه سازی:** در این قسمت مطابق با توضیحات داده شده، سمبل های ارسالی یک بردار خواهد بود. برای ارسال ۱، به ترتیب پالس های ۰ و  $\alpha$  و برای ارسال  $\alpha$  و ۰، به ترتیب پالس های  $\alpha$  و ۰ ارسال می شود. سپس مشابه با قسمت قبل این سمبل های ارسالی از

$$\begin{aligned} \hat{x} &= 1 & (y[0])^2 &\leq (y[1])^2 \\ \hat{x} &= 0 \end{aligned}$$

کانال عبور می کنند و در نهایت تصمیم گیری



تصویر ۱-۵: نمودار احتمال خطای سیستم در حالتی که از مدولاسیون *Pulse Position* استفاده شود (شبیه سازی)

همانطور که در تصویر ۱-۵ مشاهده می شود نمودار های احتمال خطای هر دو بخش مشابه هم شده است.

**قسمت ج. SNR مورد نیاز برای احتمال خطای  $10^{-6}$ ؛ در حالت بدون در نظر گرفتن اثر محوشوندگی**

رابطه احتمال خطای سیستم این قسمت، در قسمت الف بدست آورده شد. حال می خواهیم SNR مورد نیاز (بر حسب dB) را برای رسیدن به احتمال خطای  $10^{-6}$  بدست آوریم.

$$P_e = \frac{1}{2 + SNR} = 10^{-6} \rightarrow SNR = 999998 \cong 60 \text{ dB}$$

که این مقدار با قسمت ج سوال ۱،  $60 - 10.5298 = 49.4702 \text{ dB}$  تفاوت دارد. از این موضوع نتیجه می گیریم اگر در حضور fading از کدینگ استفاده کنیم، نیاز به SNR خیلی بزرگی برای رسیدن به احتمال خطاب دلخواه داریم.

**سوال ۳. استفاده از مدولاسیون BPSK برای ارسال داده در حالت CSI available**

**قسمت الف. نمودار احتمال خطای بهینه بر حسب SNR در بازه  $[-20 \text{ dB}, 20 \text{ dB}]$  با استفاده از رابطه تئوری**

در این حالت با دانستن  $h[m]$  در گیرنده، می توانیم اثر آن را روی سیگنال دریافتی از بین ببریم. نکته قابل توجه در این حالت این است که همراه با از بین رفتن اثر محوشوندگی کانال روی  $x[m]$ ، نویز تقویت می شود. با توجه به اینکه بعد از دریافت  $y[m]$  مقدار  $h[m]$  در گیرنده مشخص می شود، دیگر  $h[m]$  متغیر تصادفی نیست و به شکل یک عدد به آن نگاه می شود.

$$y[m] = h[m]x[m] + \omega[m] \xrightarrow{\times \frac{h^*[m]}{|h[m]|^2}} z[m] = x[m] + \underbrace{\frac{h^*[m]}{|h[m]|^2} \omega[m]}_{\tilde{\omega}[m] \text{ نویز معادل}}$$

$$\text{توان بخش مطلوب} = \frac{a^2}{2}$$

$$\text{توان نویز معادل} = \frac{|h[m]|^2}{|h[m]|^4} N_0 = \frac{1}{|h[m]|^2} N_0$$

در نتیجه SNR دریافتی به صورت زیر خواهد شد.

$$SNR = \frac{a^2}{2} \times \frac{|h[m]|^2}{N_0} = \frac{a^2 |h[m]|^2}{2N_0}$$

$$\gamma_b = \frac{E_b}{N_0} = \frac{a^2}{2N_0} \rightarrow SNR = \gamma_b |h[m]|^2$$

در نهایت با توجه به اینکه از مدولاسیون  $BPSK$  استفاده می شود، احتمال خطا به صورت زیر خواهد بود.

$$P_e = \int_{-\infty}^{+\infty} Q\left(\sqrt{2\gamma_b|h_m|^2}\right) f_{h_m}(h_m) dh_m$$

$$h_m \sim \mathcal{CN}(0,1) \rightarrow h_m = \sqrt{h_r^2 + h_i^2}, \quad h_r, h_i \sim \mathcal{N}\left(0, \frac{1}{2}\right)$$

$$\begin{aligned} P_e &= \frac{1}{\sqrt{\pi}} \times \frac{1}{\sqrt{\pi}} \int_{-\infty}^{+\infty} \int_{-\infty}^{+\infty} Q\left(\sqrt{2\gamma_b(h_r^2 + h_i^2)}\right) e^{-h_r^2} e^{-h_i^2} dh_r dh_i \\ &= \frac{1}{\pi} \int_{-\infty}^{+\infty} \int_{-\infty}^{+\infty} Q\left(\sqrt{2\gamma_b(h_r^2 + h_i^2)}\right) e^{-(h_r^2 + h_i^2)} dh_r dh_i \end{aligned}$$

با استفاده از قطبی کردن انتگرال دوگانه، آنرا ساده تر می کنیم.

$$r = \gamma_b(h_r^2 + h_i^2)$$

$$P_e = \int_0^{+\infty} \frac{1}{\gamma_b} Q(\sqrt{2r}) e^{-\frac{r}{\gamma_b}} dr = \frac{1}{2} \left( 1 - \sqrt{\frac{\gamma_b}{1 + \gamma_b}} \right)$$

در نهایت نمودار احتمال خطای سیستم با استفاده از رابطه تئوری مطابق با تصویر ۱-۶ خواهد بود.

حال می خواهیم  $SNR$  مورد نیاز برای رسیدن به احتمال خطای  $10^{-6}$  را بدست آوریم. با توجه به اینکه احتمال خطای بدست آمده فرم بسته ندارد، از نمودار در بازه  $SNR = 50:1:60$  استفاده می کنیم تا ببینیم احتمال خطا در چه محدوده ای  $10^{-6}$  می شود. همانطور که در تصویر ۱-۷ مشاهده می شود به ازای  $SNR = 54dB$  به احتمال خطای  $10^{-6}$  می رسیم.

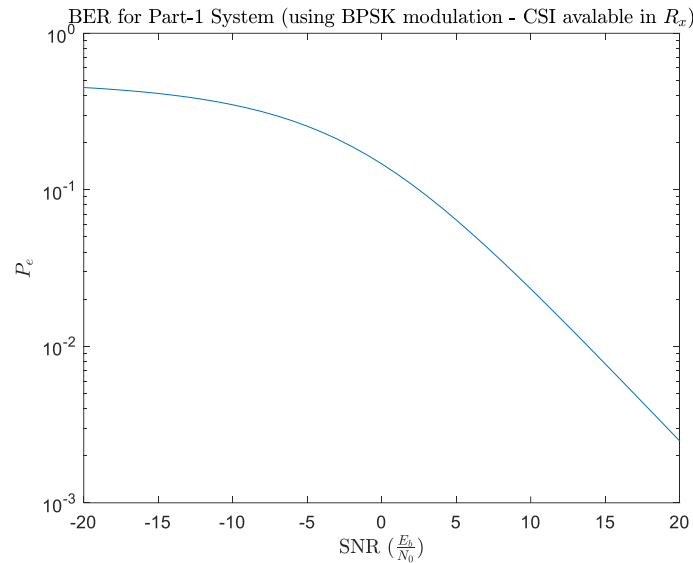
**قسمت ب.** نمودار احتمال خطای بهینه بر حسب  $SNR$  در بازه  $[-20dB, 20dB]$  با استفاده از شبیه سازی

در این قسمت می خواهیم با استفاده از شبیه سازی سیستم تصمیم گیری قسمت الف را پیاده سازی کنیم و نتایج را با نمودار ناشی از روابط تئوری مقایسه کنیم.

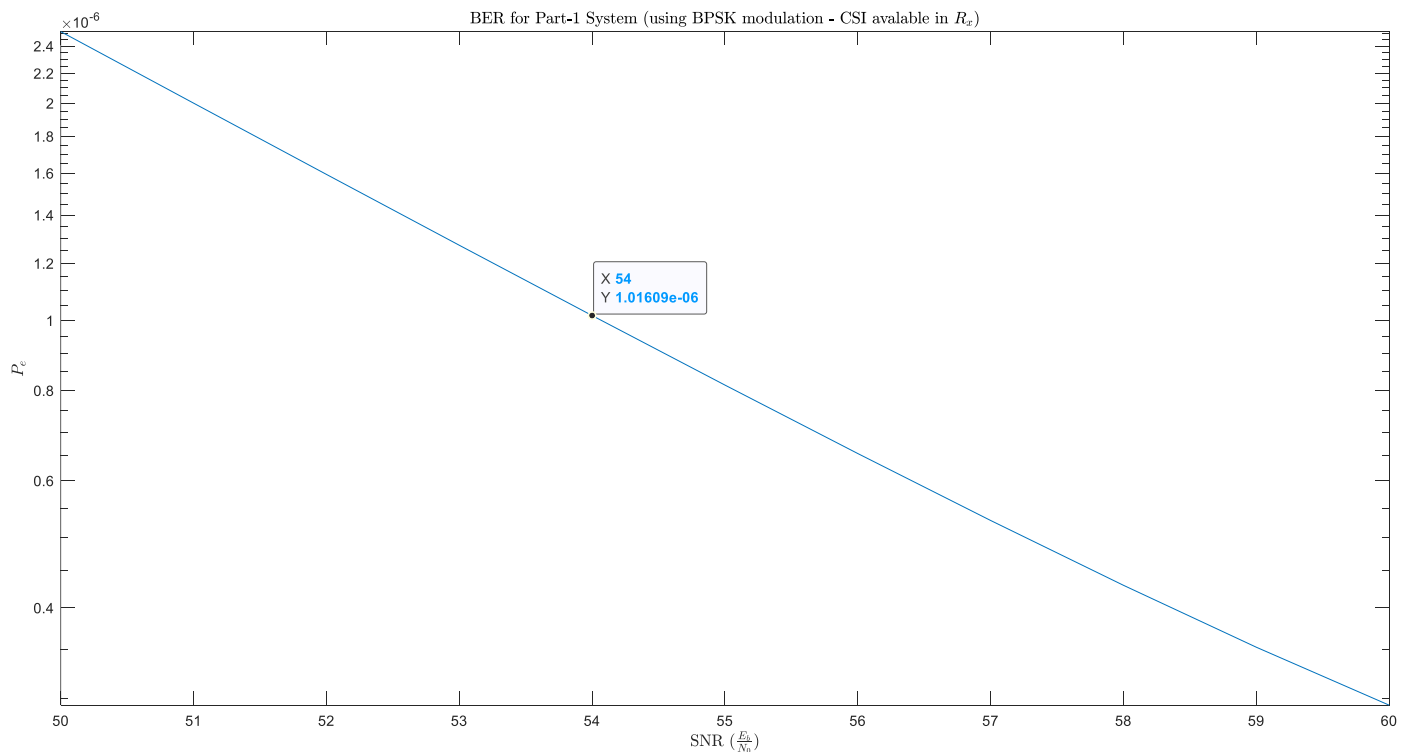
**روند شبیه سازی:** در این قسمت مطابق با توضیحات داده شده، فرایند ارسال و دریافت مشابه با سوال ۱ خواهد بود. با این تفاوت که در این قسمت کانال در گیرنده برای ما مشخص است. بنابراین می توانیم با تکنیک های ریاضی اثر کانال روی تصمیم گیری را

از بین ببریم. به این منظور مطابق با توضیحات داده شده در قسمت تئوری، سیگنال دریافتی را در  $\frac{h^*[m]}{|h[m]|^2}$  ضرب می کنیم. سپس تصمیم گیری را روی بخش حقیقی این بردار انجام می دهیم.

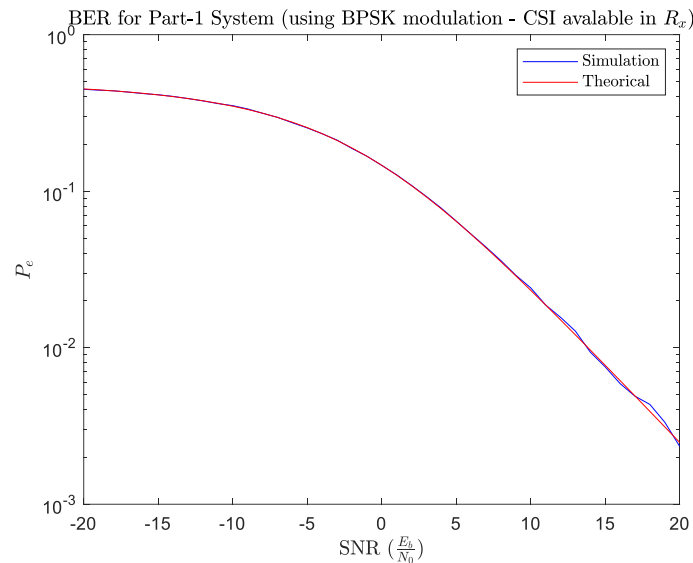
همانطور که در تصویر ۸-۱ مشاهده می شود نمودارهای احتمال خطای هر دو بخش مشابه هم شده است.



تصویر ۸-۱: نمودار احتمال خطای سیستم در حالتی که از مدولاسیون  $BPSK$  استفاده شود و مقادیر  $h[m]$  درگیرنده معلوم باشد (تئوری)

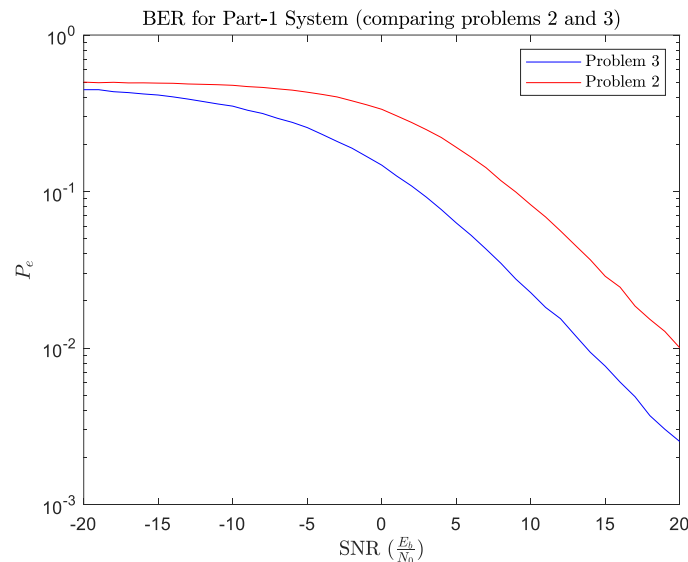


تصویر ۸-۷:  $SNR$  مورد نیاز برای رسیدن به احتمال خطای  $10^{-6}$



تصویر ۸-۱: نمودار احتمال خطای سیستم در حالتی که از مدولاسیون BPSK استفاده شود و مقادیر  $h[m]$  درگیرنده معلوم باشد (شبیه‌سازی)

تصویر ۹-۱ مقایسه نمودار احتمال خطای سوال ۲ (Pulse Position Modulation) و سوال ۳ (BPSK Modulation - CSI available in receiver) را نشان می‌دهد.



تصویر ۹-۱: مقایسه نمودار احتمال خطای سوال ۲ (Pulse Position Modulation) و سوال ۳ (BPSK Modulation - CSI available in receiver) (شبیه‌سازی)

همانطور که در تصویر ۱۰-۱ مشاهده می‌شود این دو نمودار احتمال خطای سوالات ۲ و ۳ در SNR های بزرگ ( $20dB$ ) حدوداً  $6dB$  تفاوت دارند.

```
ratio = BER_sim_p2(end) / BER_sim_p3(end);
ratio_dB = 10*log10(ratio)

ratio_dB = 5.9905
```

تصویر ۱۰-۱: اختلاف احتمال خطای سوال ۲ (Pulse Position Modulation) و سوال ۳ (BPSK Modulation - CSI available in receiver) در  $SNR = 20dB$

## قسمت ج. مقایسه سیستم‌های سوال ۲ و ۳

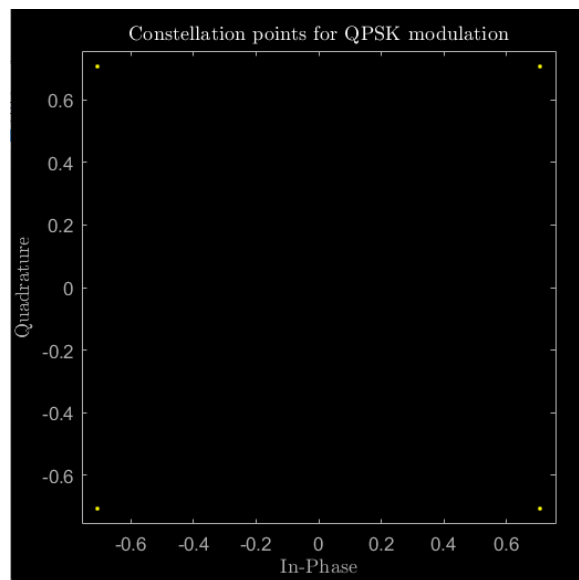
همانطور که در تصویر ۱-۹ مشاهده می‌شود در سیستم سوال ۳ (وقتی اطلاعات گیرنده را داریم) نیاز به  $SNR$  کمتری برای رسیدن به احتمال خطای دلخواه داریم. اما این تفاوت  $SNR$  آنقدری قابل توجه نیست.

## سوال ۴. استفاده از مدولاسیون QPSK برای ارسال داده

قسمت الف. نمودار احتمال خطای بهینه بر حسب  $SNR$  در بازه  $[-10dB, 10dB]$ 

در این بخش می‌خواهیم از مدولاسیون QPSK برای ارسال داده استفاده کنیم. به این منظور از ۴ سمبل نشان داده شده در تصویر ۱-۱۱ برای ارسال داده استفاده می‌کنیم.

$$x_1 = \frac{a}{\sqrt{2}}(1 + j1), \quad x_2 = \frac{a}{\sqrt{2}}(-1 + j1), \quad x_3 = \frac{a}{\sqrt{2}}(1 - j1), \quad x_4 = \frac{a}{\sqrt{2}}(-1 - j1)$$



تصویر ۱-۱۱: نقاط constellation برای مدولاسیون QPSK

رابطه تئوری احتمال خطا: ابتدا تعاریف مسئله را بازنویسی می‌کنیم.

$$y[m] = h[m]x[m] + \omega[m]$$

$$h[m] \sim \mathcal{CN}(0, 1)$$

$$\omega[m] \sim \mathcal{CN}(0, N_0)$$

$$x[m] \in \{x_1, x_2, x_3, x_4\}$$

مشابه سوال ۳، با فرض اینکه در گیرنده مقادیر  $h[m]$  را می‌دانیم پیش می‌رویم.

$$y[m] = h[m]x[m] + \omega[m] \xrightarrow{\times \frac{h^*[m]}{|h[m]|^2}} z[m] = x[m] + \underbrace{\frac{h^*[m]}{|h[m]|^2} \omega[m]}_{\tilde{\omega}[m] \text{ نویز معادل}} = x[m] + \tilde{\omega}[m]$$

باتوجه به اینکه احتمال ارسال هر ۴ سمبل یکسان است، ناحیه های تصمیم‌گیری  $Re\{z\} = 0$  و  $Im\{z\} = 0$  است. یعنی داریم:

$$\text{if } Re\{z\} > 0 \ \& \ Im\{z\} > 0 \rightarrow \hat{x} = x_1$$

$$\text{if } Re\{z\} < 0 \ \& \ Im\{z\} > 0 \rightarrow \hat{x} = x_2$$

$$\text{if } Re\{z\} > 0 \ \& \ Im\{z\} < 0 \rightarrow \hat{x} = x_3$$

$$\text{if } Re\{z\} < 0 \ \& \ Im\{z\} < 0 \rightarrow \hat{x} = x_4$$

برای محاسبه احتمال خطا، از احتمال دریافت درست استفاده می‌کنیم. یعنی ابتدا  $P_c$  را بدست آورده و با استفاده از آن به  $P_e$  می‌رسیم. ( $P_e = 1 - P_c$ )

$$\begin{aligned} P_c &= \Pr(\hat{x} = x_1 | x = x_1) \Pr(x = x_1) + \Pr(\hat{x} = x_2 | x = x_2) \Pr(x = x_2) \\ &\quad + \Pr(\hat{x} = x_3 | x = x_3) \Pr(x = x_3) + \Pr(\hat{x} = x_4 | x = x_4) \Pr(x = x_4) \\ &= \frac{1}{4} \Pr(Re\{z\} > 0 \ \& \ Im\{z\} > 0 | x = x_1) \\ &\quad + \frac{1}{4} \Pr(Re\{z\} < 0 \ \& \ Im\{z\} > 0 | x = x_2) \\ &\quad + \frac{1}{4} \Pr(Re\{z\} > 0 \ \& \ Im\{z\} < 0 | x = x_3) \\ &\quad + \frac{1}{4} \Pr(Re\{z\} < 0 \ \& \ Im\{z\} < 0 | x = x_4) \\ &= \frac{1}{4} \Pr(Re\{x_1 + \tilde{\omega}[m]\} > 0 \ \& \ Im\{x_1 + \tilde{\omega}[m]\} > 0) \\ &\quad + \frac{1}{4} \Pr(Re\{x_2 + \tilde{\omega}[m]\} < 0 \ \& \ Im\{x_2 + \tilde{\omega}[m]\} > 0) \\ &\quad + \frac{1}{4} \Pr(Re\{x_3 + \tilde{\omega}[m]\} > 0 \ \& \ Im\{x_3 + \tilde{\omega}[m]\} < 0) \\ &\quad + \frac{1}{4} \Pr(Re\{x_4 + \tilde{\omega}[m]\} < 0 \ \& \ Im\{x_4 + \tilde{\omega}[m]\} < 0) \end{aligned}$$



با توجه به تقارن مسئله، همه ۴ احتمال بالا یکسان هستند پس برای ساده کردن محاسبات یکی از احتمال ها را در نظر می‌گیریم. نهایتاً احتمال ساده شده به صورت زیر خواهد شد.

$$P_c = \Pr\left(\operatorname{Re}\{\tilde{\omega}[m]\} < \frac{a}{\sqrt{2}} \& \operatorname{Im}\{\tilde{\omega}[m]\} < \frac{a}{\sqrt{2}}\right)$$

$$= \Pr\left(\operatorname{Re}\left\{\frac{h^*[m]}{|h[m]|^2} \omega[m]\right\} < \frac{a}{\sqrt{2}} \& \operatorname{Im}\left\{\frac{h^*[m]}{|h[m]|^2} \omega[m]\right\} < \frac{a}{\sqrt{2}}\right)$$

$$\omega_r, \omega_i \sim \mathcal{N}\left(0, \frac{N_0}{2}\right), \quad h_r, h_i \sim \mathcal{N}\left(0, \frac{1}{2}\right)$$

$$\frac{h^*[m]}{|h[m]|^2} \omega[m] = \frac{h_r - jh_i}{h_r^2 + h_i^2} (\omega_r + j\omega_i) = \frac{h_r\omega_r + h_i\omega_i + j(h_r\omega_i - h_i\omega_r)}{h_r^2 + h_i^2}$$

$$\rightarrow P_c = \int_{-\infty}^{+\infty} \int_{-\infty}^{+\infty} \Pr\left(h_r\omega_r + h_i\omega_i < a \frac{h_r^2 + h_i^2}{\sqrt{2}} \& h_r\omega_i - h_i\omega_r < a \frac{h_r^2 + h_i^2}{\sqrt{2}}\right) f_{h_r}(h_r) f_{h_i}(h_i) dh_r dh_i$$

با توجه به اینکه  $h_r\omega_r + h_i\omega_i$  و  $h_r\omega_i - h_i\omega_r$  دو توزیع گوسی با واریانس های یکسان هستند و همچنین اینکه  $\omega_i$  و  $\omega_r$  از هم مستقلند ( $\operatorname{cov}(\omega_r, \omega_i) = 0$ )، می‌توانیم با استفاده از خاصیت کواریانس ترکیب خطی بنویسیم:

$$h_r\omega_r + h_i\omega_i, h_r\omega_i - h_i\omega_r \sim \mathcal{N}\left(0, \frac{N_0}{2}(h_r^2 + h_i^2)\right)$$

$$\operatorname{cov}(h_r\omega_r + h_i\omega_i, h_r\omega_i - h_i\omega_r)$$

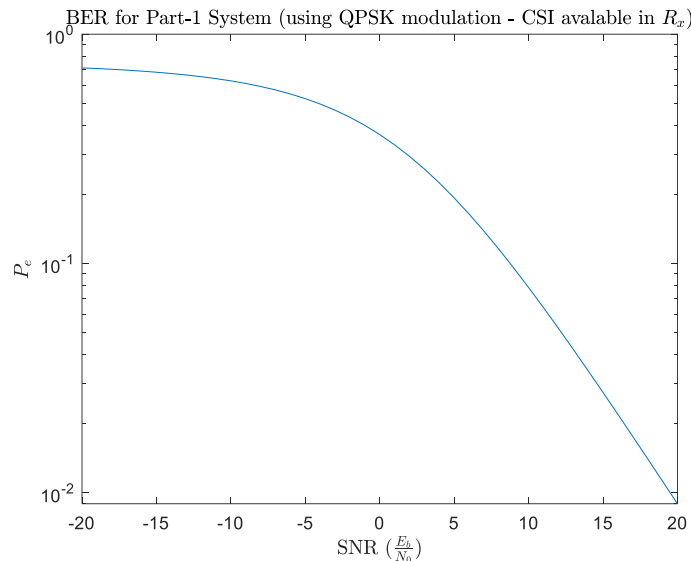
$$= h_r^2 \underbrace{\operatorname{cov}(\omega_i, \omega_r)}_{=0} - h_r h_i \underbrace{\operatorname{cov}(\omega_r, \omega_r)}_{\operatorname{var}(\omega_r) = \frac{N_0}{2}} + h_r h_i \underbrace{\operatorname{cov}(\omega_i, \omega_i)}_{\operatorname{var}(\omega_i) = \frac{N_0}{2}} - h_i^2 \underbrace{\operatorname{cov}(\omega_r, \omega_i)}_0 = 0$$

در نتیجه دو توزیع  $h_r\omega_r + h_i\omega_i$  و  $h_r\omega_i - h_i\omega_r$  از هم مستقل هستند و می‌توانیم احتمال خطا را به صورت زیر بدست آوریم.

$$P_c = \int_{-\infty}^{+\infty} \int_{-\infty}^{+\infty} \Pr\left(h_r\omega_r + h_i\omega_i < a \frac{h_r^2 + h_i^2}{\sqrt{2}}\right) \Pr\left(h_r\omega_i - h_i\omega_r < a \frac{h_r^2 + h_i^2}{\sqrt{2}}\right) f_{h_r}(h_r) f_{h_i}(h_i) dh_r dh_i$$

$$\begin{aligned}
 P_c &= \int_{-\infty}^{+\infty} \int_{-\infty}^{+\infty} \left( 1 - Q \left( a \frac{\sqrt{h_r^2 + h_i^2}}{\sqrt{N_0}} \right) \right)^2 f_{h_r}(h_r) f_{h_i}(h_i) dh_r dh_i \\
 &= \frac{1}{\pi} \int_{-\infty}^{+\infty} \int_{-\infty}^{+\infty} \left( 1 - Q \left( \gamma_b (h_r^2 + h_i^2) \right) \right)^2 e^{-(h_r^2 + h_i^2)} dh_r dh_i \\
 P_e &= 1 - P_c = 1 - \frac{1}{\pi} \int_{-\infty}^{+\infty} \int_{-\infty}^{+\infty} \left( 1 - Q \left( \sqrt{\gamma_b (h_r^2 + h_i^2)} \right) \right)^2 e^{-(h_r^2 + h_i^2)} dh_r dh_i \\
 \rightarrow P_e &= 1 - \frac{1}{\pi} \int_{-\infty}^{+\infty} \int_{-\infty}^{+\infty} \left( 1 - Q \left( \sqrt{\gamma_b (h_r^2 + h_i^2)} \right) \right)^2 e^{-(h_r^2 + h_i^2)} dh_r dh_i
 \end{aligned}$$

در نهایت نمودار احتمال خطای سیستم با استفاده از رابطه تئوری مطابق با تصویر ۱-۱۲ خواهد بود.



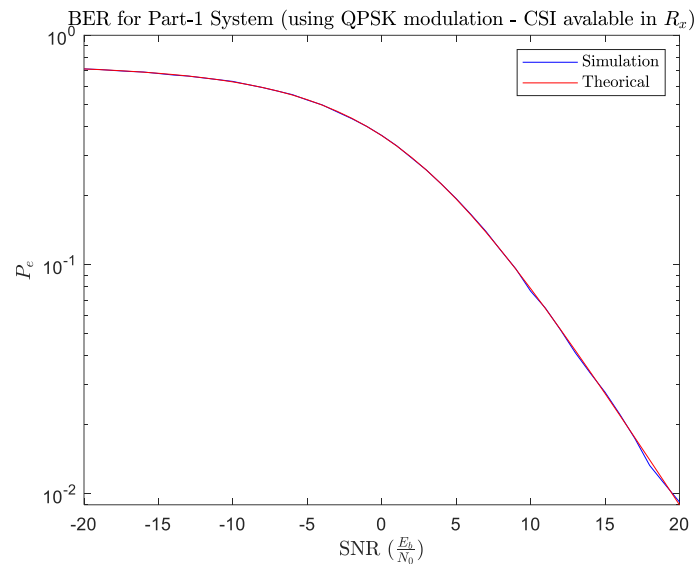
تصویر ۱-۱۲: نمودار احتمال خطای سیستم در حالتی که از مدولاسیون  $QPSK$  استفاده شود و مقادیر  $h[m]$  درگیرنده معلوم باشد (تئوری)

**رسم نمودار احتمال خطا با استفاده از شبیه سازی:** حال می خواهیم با استفاده از شبیه سازی احتمال خطای سیستم این قسمت

را رسم می کنیم و نتایج را با نمودار ناشی از روابط تئوری مقایسه کنیم. همانطور که در تصویر ۱-۱۳ مشاهده می شود نمودارهای احتمال خطای هر دو بخش مشابه هم شده است.

**روند شبیه سازی:** شبیه سازی این قسمت مشابه با قسمت قبل خواهد بود با این تفاوت که سمبل های ارسالی دیگر دو نوع نیستند و از مدولاسیون  $QPSK$  استفاده می کنیم. پس از تولید سمبل های تصادفی ارسالی کانال را روی سمبل ها اثر داده و به آن نویز

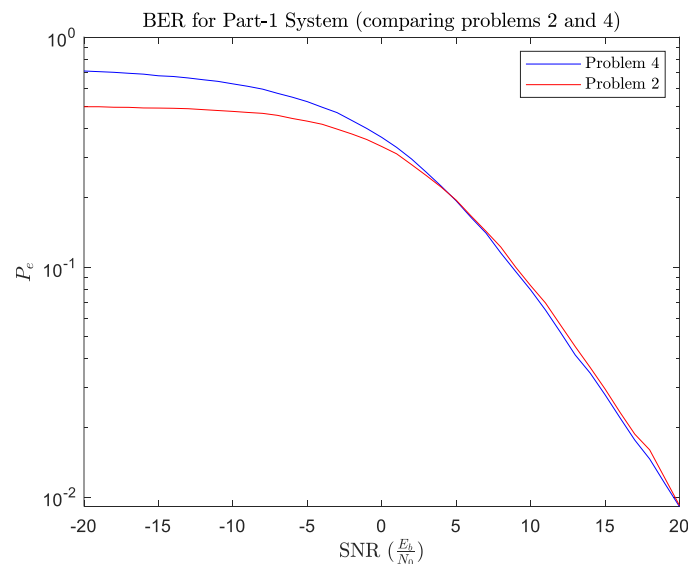
اضافه می کنیم. در نهایت مشابه قسمت قبل با ضرب  $\frac{h^*[m]}{|h[m]|^2}$  در  $y[m]$  اثر کانال را از بین برده و تصمیم گیری را روی این سیگنال انجام می دهیم. برای تصمیم گیری مطابق با ناحیه بندی توضیح داده شده در ابتدای این سوال استفاده می کنیم.



تصویر ۱-۱۳: نمودار احتمال خطای سیستم در حالتی که از مدولاسیون  $QPSK$  استفاده شود و مقادیر  $h[m]$  درگیرنده معلوم باشد (شبیه سازی)

### قسمت ب. مقایسه سیستم های سوال ۲ و ۴

تصویر ۱-۱۴: مقایسه نمودار احتمال خطای سوال ۲ (Pulse Position Modulation) و سوال ۴ (QPSK Modulation) (CSI available in receiver) را نشان می دهد.



تصویر ۱-۱۴: مقایسه نمودار احتمال خطای سوال ۲ (Pulse Position Modulation) و سوال ۳ (QPSK Modulation – CSI available in receiver) (شبیه سازی)

همانطور که در تصویر ۱-۱۵ مشاهده می شود این دو نمودار احتمال خطای سوالات ۲ و ۴ در SNR های بزرگ ( $20dB$ ) تقریباً مشابه عمل می کنند و تفاوت آن ها در حدودا  $0dB$  تا  $1dB$  است.

```
ratio = BER_sim_p2(end) / BER_sim_p4(end);
ratio_dB = 10*log10(ratio)

ratio_dB = 0.0522
```

تصویر ۱-۱۵: اختلاف احتمال خطای سوال ۲ (Pulse Position Modulation) و سوال ۴ (QPSK Modulation – CSI available in receiver) در  $SNR = 20dB$

## سوال ۵. استفاده از دایورسیتی در زمان برای ارسال داده

### قسمت الف. فاصله زمانی بین ارسال سمبل ها

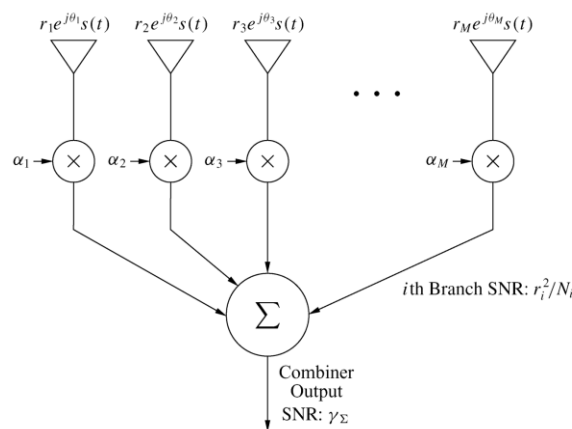
برای ارسال درست و بدون تداخل حداقل فاصله زمانی بین ارسال سمبل ها باید به اندازه زمان همدوسی باشد تا کانال (آثار محوشوندگی) نسبت به حالت قبلی اش مستقل شود.

### قسمت ب. رسم نمودار احتمال خطای بهینه به صورت تئوری و شبیه سازی بر حسب SNR در بازه $[-10dB, 10dB]$

**رابطه تئوری احتمال خطا:** در این قسمت با توجه به اینکه از روش دایورسیتی در زمان استفاده می کنیم، هر سمبل را به تعداد  $L$  بار ارسال می کنیم. برای ارسال از مدولاسیون BPSK استفاده می کنیم. تصویر ۱-۱۶ دیاگرام مربوط به ترکیب کننده را نشان می دهد. در این دیاگرام فرض کنید در  $M$  بازه زمانی سیگنال پیام وارد کانال می شود. (یعنی هر شاخه دیاگرام بیانگر یک بازه زمانی مجزا است).

باتوجه به اینکه می خواهیم احتمال خطای بهینه را بر حسب SNR بدست آوریم، از روش Maximal Ratio Combining

استفاده می کنیم. در این روش به شاخه هایی که SNR بزرگتری دارند،  $|a_i|$  بزرگتری داده می شود.



تصویر ۱-۱۶: دیاگرام ترکیب کننده

خروجی Combiner را با  $z(t)$  نشان می‌دهیم.

$$\alpha_i = a_i e^{-j\theta_i}$$

$$z(t) = \left( \sum_{i=1}^M r_i a_i \right) x(t) + \sum_{i=1}^M a_i e^{-j\theta_i} n_i(t)$$

پس SNR در خروجی به صورت زیر خواهد بود.

$$\gamma_\Sigma = \frac{(\sum_{i=1}^M r_i a_i)^2 E_s}{N_0 \sum_{i=1}^M a_i^2}$$

در روش ترکیب MRC، با توجه به اینکه می‌خواهیم SNR خروجی بیشینه شود داریم:

$$\max_{a_i} \gamma_\Sigma \rightarrow \frac{\partial \gamma_\Sigma}{\partial a_i} = 0 \rightarrow a_i^2 = \frac{r_i^2}{N_0} = \gamma_i$$

$$\rightarrow \gamma_\Sigma = \frac{(\sum_{i=1}^M r_i a_i)^2 E_x}{N_0 \sum_{i=1}^M a_i^2} = \frac{\left( \frac{1}{\sqrt{N_0}} \sum_{i=1}^M r_i^2 \right)^2 E_x}{N_0 \sum_{i=1}^M \frac{r_i^2}{N_0}} = \sum_{i=1}^M \frac{r_i^2}{N_0} = \sum_{i=1}^M \gamma_i$$

که در معادلات ما  $r_i = |h_i|$  است.

$$\gamma_i = \frac{r_i^2}{N_0} E_x = \frac{|h_i|^2}{N_0} E_x \rightarrow \gamma_\Sigma = \sum_{i=1}^M \gamma_i = \sum_{i=1}^M \frac{|h_i|^2}{N_0} E_x = \frac{a^2}{N_0} \sum_{i=1}^M |h_i|^2$$

$$|h_i|^2 = h_{i_{real}}^2 + h_{i_{imag}}^2$$

$$h_i \sim \mathcal{CN}(0,1) \rightarrow h_{i_{real}}, h_{i_{imag}} \sim \mathcal{N}\left(0, \frac{1}{2}\right)$$

$$H = \sum_{i=1}^L |h_i|^2 = \sum_{i=1}^L (h_{i_{real}}^2 + h_{i_{imag}}^2) \rightarrow \gamma_\Sigma = \frac{a^2}{N_0} H$$

در نتیجه  $H$  دارای توزیع chi-squared با  $2L$  درجه آزادی است.

\*\*\* یادآوری توزیع chi-squared با  $k$  درجه آزادی:

$$Z = \sum_{i=1}^k z_i^2, \text{var}(z_i) = \sigma^2 \rightarrow f_Z(z) = \frac{1}{2^{\frac{k}{2}} \Gamma\left(\frac{k}{2}\right) \sigma^k} z^{\frac{k}{2}-1} e^{-\frac{z}{2\sigma^2}}$$

که در اینجا پارامترهای توزیع به صورت زیر تغییر می کند:

$$k = 2L, \quad \bar{h}_l = E\{|h_l|^2\} = 2\sigma^2 = 2 \times \frac{1}{2} = 1 \rightarrow 2\sigma^2 = 1$$

$$f_H(h) = \frac{1}{2^L \Gamma(L) \sigma^{2L}} h^{L-1} e^{-\frac{h}{2\sigma^2}} = \frac{h^{L-1} e^{-h}}{(L-1)!}$$

در این صورت با توجه به اینکه از مدولاسیون BPSK استفاده می شود، احتمال خطا به صورت زیر خواهد بود.

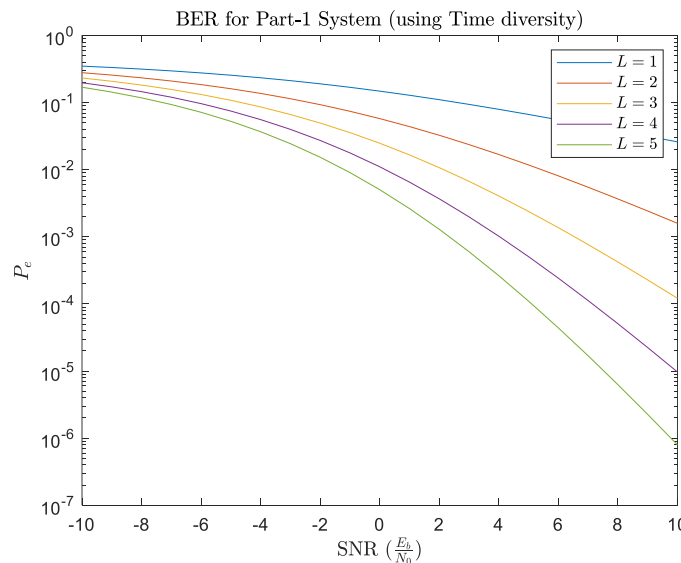
$$P_{e|\gamma} = Q(\sqrt{2\gamma\Sigma}) \rightarrow P_{e|H} = Q\left(\sqrt{2\frac{a^2}{N_0}H}\right) = Q(\sqrt{2SNR.H})$$

در نهایت احتمال خطا به صورت زیر بدست خواهد آمد:

$$P_e = \int_0^\infty P_{e|H} f_H(h) dh = \frac{1}{(L-1)!} \int_0^\infty Q(\sqrt{2SNR.H}) h^{L-1} e^{-h} d\gamma$$

حال با استفاده از رابطه بالا نمودار احتمال خطای بدست آمده با استفاده از روابط ریاضی را مطابق با تصویر ۱۷-۱ رسم می کنیم.

همانطور که در این نمودار مشاهده می شود، احتمال خطا با افزایش تعداد تکرارهای ارسال ( $L$ ) کاهش می یابد.



تصویر ۱۷-۱: نمودار احتمال خطای سیستم در حالتی که از دایورستی در زمان استفاده شود (تئوری)

**رسم نمودار احتمال خطا با استفاده از شبیه سازی:** حال می خواهیم با استفاده از شبیه سازی احتمال خطای سیستم این قسمت

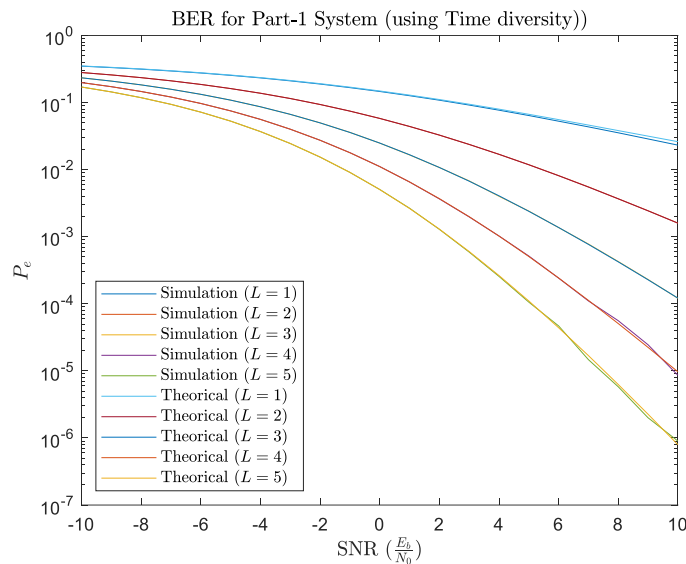
را رسم می کنیم و نتایج را با نمودار ناشی از روابط تئوری مقایسه کنیم.

**روند شبیه‌سازی:** در این قسمت برای دایورسیتی در زمان تابعی به نام  $P5\_sim()$  نوشته شده است. در شبیه‌سازی این بخش ب توجه به اینکه در  $L$  بازه زمانی سمبل تکرار می‌شود،  $L$  کانال متفاوت و موازی در نظر می‌گیریم و ارسال به سمت گیرنده را از طریق این  $L$  کانال انجام می‌دهیم. سپس با استفاده از روش  $MRC$  ضرایب  $\alpha_i = a_i e^{-j\theta_i}$  را در هر شاخه ضرب می‌کنیم و در نهایت خروجی همه شاخه‌ها را باهم جمع می‌کنیم. در روابط صفحه پیش ثابت کردیم که  $a_i^2 = \frac{r_i^2}{N_0} = \gamma_i$  است و با توجه به اینکه  $r_i = h_i$  است می‌توانیم بنویسیم:

$$\alpha_i = a_i e^{-j\theta_i} = \sqrt{\frac{r_i^2}{N_0}} e^{-j\angle h_i}$$

در انتها تصمیم‌گیری را روی خروجی ترکیب کننده انجام می‌دهیم.

همانطور که در تصویر ۱-۱۸ مشاهده می‌شود نمودارهای احتمال خطای هر دو بخش مشابه هم شده است.



تصویر ۱-۱۸: نمودار احتمال خطای سیستم در حالتی که از دایورسیتی در زمان استفاده شود (شبیه‌سازی)

## سوال ۶. استفاده از دایورسیتی در مکان برای ارسال داده

در این قسمت می‌خواهیم برای ارسال داده‌ها دایورسیتی در مکان استفاده کنیم. به این منظور فرض می‌کنیم در فرستنده  $M$  آنتن و در فرستنده ۱ آنتن داریم. در این صورت سیگنال دریافتی در هر بازه زمانی به صورت زیر خواهد بود.

$$y[m] = h_1[m]x_1[m] + h_2[m]x_2[m] + \omega[m]$$

**قسمت الف.** پیاده سازی سیستم با دایورسیتی در زمان با استفاده از سیستم با دایورسیتی مکان (در گیرنده)

حالتی که  $M$  آنتن گیرنده و یک آنتن فرستنده داشته باشیم، با حالتی که از دایورسیتی زمانی استفاده کنیم یکسان خواهد بود. به این معنی که در آنتن‌های گیرنده یک سیگنال که کانال‌های مختلف (که از هم مستقل هستند) روی آن تأثیر مستقل می‌گذارند و این تأثیر مشابه حالتی است که در  $M$  بازه زمانی مختلف که کانال از حالت قبلی‌اش مستقل است، سیگنال را ارسال کنیم.

**قسمت ب.** پیاده سازی سیستم با دایورسیتی در زمان با استفاده از  $M = 2$  آنتن در فرستنده

در این قسمت می‌خواهیم برای پیاده‌سازی دایورسیتی در مکان از کدینگ الموتی استفاده کنیم. مطابق با توضیحات داده شده در صورت گزارش، در دو بازه زمانی متوالی دو سمبل  $u_1$  و  $u_2$  را به صورت زیر ارسال می‌کنیم.

$$[y[m], y[m+1]] = [h_1, h_2] \begin{bmatrix} u_1 & -u_2^* \\ u_2 & u_1^* \end{bmatrix} + [\omega_1, \omega_2]$$

که در این رابطه  $\omega_1, \omega_2 \sim \mathcal{N}(0, N_0)$  بوده و از هم مستقل هستند. همچنین فرض می‌کنیم در دو بازه زمانی متوالی  $h_1$  و  $h_2$  تغییر نمی‌کند.

**\*\*\* طراحی Detector:** در دو بازه زمانی متوالی سیگنال دریافتی به صورت زیر می‌باشد.

$$y_1 = y[m] = h_1 u_1 + h_2 u_2 + \omega_1$$

$$y_2 = y[m+1] = -h_1 u_2^* + h_2 u_1^* + \omega_2$$

مطابق با مطالب درس یک Detector باید طراحی کنیم تا با انجام یک عملیات روی سیگنال دریافتی بتوانیم سیگنال ارسالی را بازیابی کنیم. به این منظور متریک‌های  $m_1$  و  $m_2$  را به صورتی تعریف می‌کنیم که هر کدام فقط وابسته به یکی از سیگنال‌های ارسالی باشد.

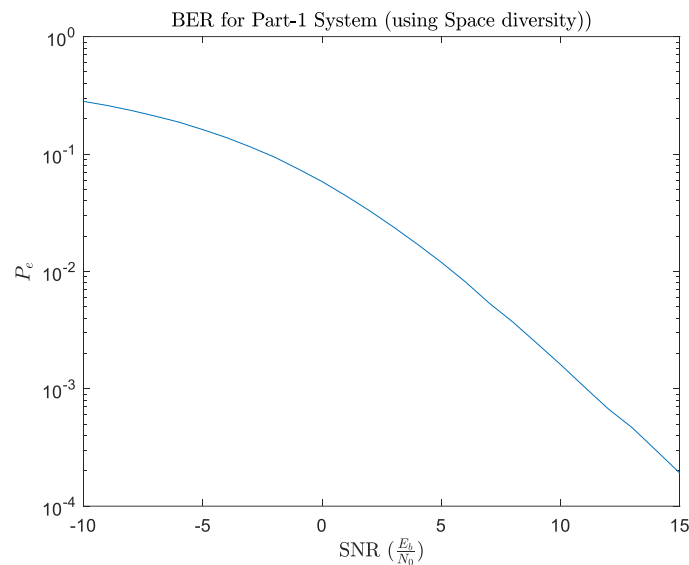
$$m_1 = h_1^* y_1 + h_2 y_2^* = (|h_1|^2 + |h_2|^2) u_1 + \underbrace{h_1^* \omega_1 + h_2 \omega_2^*}_{\tilde{\omega}_1}$$

$$m_2 = h_2^* y_1 - h_1 y_2^* = (|h_1|^2 + |h_2|^2) u_2 + \underbrace{h_2^* \omega_1 - h_1 \omega_2^*}_{\tilde{\omega}_2}$$

از  $m_1$  برای تشخیص  $u_1$  و از  $m_2$  برای تشخیص  $u_2$  استفاده می‌کنیم. به این صورت که بخش حقیقی این دو متریک استفاده می‌کنیم و در صورت مثبت یا منفی بودن نتیجه می‌گیریم سمبل ارسالی به ترتیب ۱ یا ۰ بوده است.



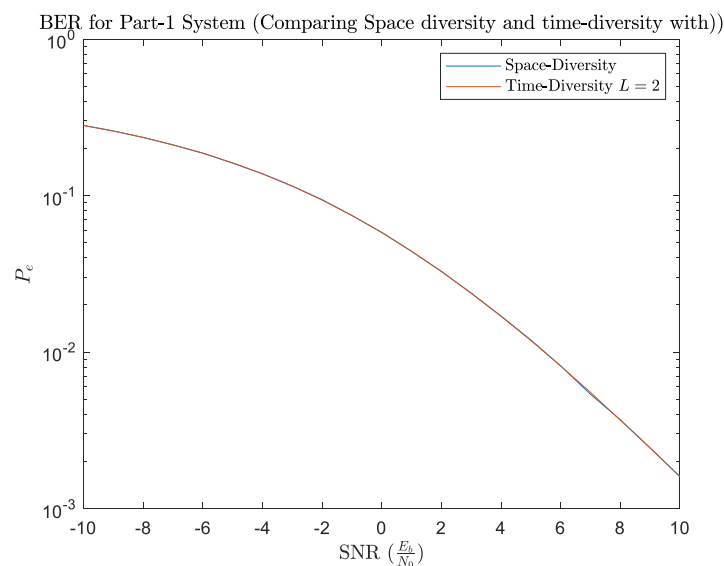
تصویر ۱-۱۹ نمودار احتمال خطای سیستم در حالتی که از دایورسیتی در مکان استفاده کنیم، برحسب  $SNR$  در بازه  $[-10dB, 15dB]$  را نشان می‌دهد. همانطور که مشاهده می‌شود این احتمال خطا به مراتب از سایر روش‌ها کمتر بوده و یعنی دایورسیتی در مکان و استفاده از کدینگ الموتی عملکرد بهتری دارد.



تصویر ۱-۱۹: نمودار احتمال خطای سیستم در حالتی که از دایورسیتی در مکان استفاده شود (شبیه‌سازی)

### قسمت ج. مقایسه دایورسیتی در مکان و زمان

تصویر ۱-۲۰ مقایسه نمودارهای احتمال خطا برای دایورسیتی در مکان و زمان (برای  $L = 2$ ) را نشان می‌دهد.



تصویر ۱-۲۰: مقایسه نمودارهای احتمال خطا برای دایورسیتی در مکان و زمان (برای  $L = 2$ ) (شبیه‌سازی)

همانطور که در نمودار مشاهده می‌شود این دو حالت کاملاً احتمال خطای یکسانی دارند.

مزیت‌های دایورسیتی در مکان نسبت به زمان: علی‌رغم هزینه بر بودن افزایش تعداد فرستنده، در روش دایورسیتی در زمان، نرخ (rate) کانال افت می‌کند و هرچه دقت بالاتری بخواهیم نرخ بیشتر کاهش پیدا می‌کند.

---

## سوال ۲: کانال فرکانس گزین

در این بخش فرص می‌کنیم کانال ما فرکانس گزین (پهن باند) است. در صورتی که تعداد تپ‌های کانال را  $L$  در نظر بگیریم، سیگنال دریافتی در لحظه  $k$ م به صورت زیر است.

$$y[k] = \sum_{i=0}^{L-1} h_i[k]x[k-i] + \omega[k], \quad h[k] \sim \mathcal{CN}(0,1), \quad \omega[k] \sim \mathcal{CN}(0, N_0)$$

همچنین داده‌های کانال مطابق با جدول ۱-۲ است. (در صورت تمرین طول پیام  $10^8$  بیت در نظر گرفته می‌شود اما به منظور افزایش سرعت شبیه‌سازی طول پیام را کوتاه‌تر ( $2 \times 10^6$  بیت) در نظر می‌گیریم).

|                                       |                                 |
|---------------------------------------|---------------------------------|
| <b>20MHz</b>                          | پهنای باند کانال ( $W$ )        |
| <b>5ms</b>                            | زمان هم‌دوسی کانال ( $T_c$ )    |
| <b>10μs</b>                           | گسترده‌گی تأخیر کانال ( $T_d$ ) |
| <b><math>2 \times 10^6</math> بیت</b> | طول پیام ( $N$ )                |
| -                                     | تعداد تپ‌های کانال ( $L$ )      |
| -                                     | تعداد زیر حامل‌ها ( $n_c$ )     |
| -                                     | طول پیشوند گردشی ( $CP$ )       |

جدول ۱-۲: داده‌های کانال فرکانس گزین برای طراحی سیستم OFDM

همچنین مدولاسیون استفاده شده برای ارسال بیت‌های پیام BPSK است. (احتمال ارسال 0 و 1 برابر است).

سوال ۱. تعداد تپ‌های کانال ( $L$ ) و طول پیشوند گردشی ( $CP$ )

برای محاسبه تعداد تپ‌های کانال باید به این موضوع دقت کنیم که کانال فرکانس گزین است. یعنی داریم  $T \ll T_d$ . در نتیجه تعداد تپ‌ها را با توجه به نرخ نایکوئیست می‌توانیم به صورت زیر انتخاب کنیم.

$$T_s = \frac{T}{L}, \quad \text{nyquist rate: } W = \frac{1}{T_s} \rightarrow W = \frac{L}{T}$$

$$T \approx T_d \rightarrow L = W \times T_d = 20\text{MHz} \times 10\mu\text{s} = 200$$

برای محاسبه طول پیشوند گردشی باید به این نکته دقت کنیم که می‌خواهیم پیشوندی به هر بلاک OFDM اضافه کنیم که با استفاده از آن بتوانیم کانولوشن خطی را به کانولوشن گردشی تبدیل کنیم. در نتیجه طول پیشوند گردشی باید از تعداد تپ‌های کانال بزرگتر باشد؛ به همین منظور طول پیشوند گردشی به صورت زیر تعیین می‌شود.

$$CP \geq L - 1 \rightarrow CP = 200$$

**سوال ۲. تعداد زیرحامل‌های ( $n_c$ ) هر بلاک OFDM**

برای محاسبهٔ تعداد زیرحامل‌های هر بلاک OFDM باید به دو نکته دقت کنیم.

۱- تعداد زیر حامل‌های هر بلاک باید طوری تعیین شود که نرخ ارسال پایین نیاید. به همین منظور با استفاده از طول پیشوند گردشی یک حد پایین برای  $n_c$  به صورت زیر در نظر می‌گیریم.

$$n_c \geq 8 \times CP = 1600$$

۲- باید دقت شود که کانال در طول ارسال هر بلوک، کانال باید ثابت بماند. بنابراین اگر  $n_c$  از یک حد بزرگتر در نظر گرفته شود، ممکن است کانال در طول ارسال بلوک تغییر پذیر باشد. همانطور که می‌دانیم کانال به طور میانگین پس از گذشت  $T_c$  تغییر کرده و نسبت به حالت قبلی‌اش مستقل می‌شود. بنابراین یک حد پایین برای تعداد زیر حامل‌ها به صورت زیر تعریف می‌شود.

$$n_c \leq W \times T_c = 20MHz \times 5ms = 10^5$$

در نتیجه  $1600 < n_c \leq 10^5$  می‌باشد و ما مقدار  $n_c = 10^4$  را برای تعداد زیرحامل‌ها اتخاذ می‌کنیم.

**سوال ۳. تعداد بلاک‌های OFDM برای ارسال کل پیام**

برای محاسبهٔ تعداد بلاک‌های OFDM باید تعداد کل بیت های ارسالی را به طول هر بلاک تقسیم کنیم. در نتیجه داریم.

$$\text{number of OFDM blocks} = \frac{2 \times 10^6}{10^4} = 200$$

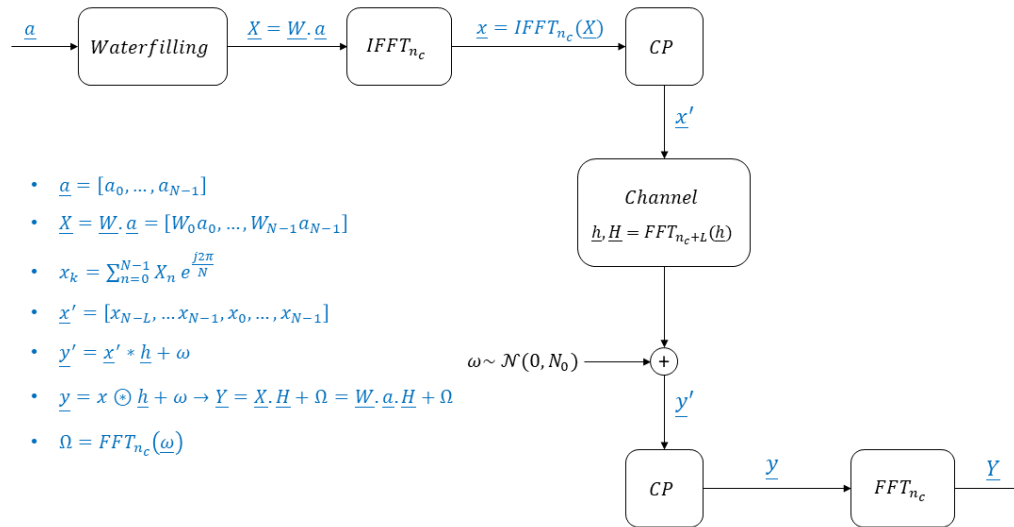
در نهایت جدول ۲-۲ مشخصات سیستم OFDM طراحی شده را نشان می‌دهد.

**سوال ۴. بلاک دیاگرام سیستم در فرستنده و گیرنده**

تصویر ۱-۲ بلوک دیاگرام فرستنده و گیرنده سیستم را نشان می‌دهد.

|                                       |                                |
|---------------------------------------|--------------------------------|
| <b>20MHz</b>                          | پهنای باند کانال ( $W$ )       |
| <b>5ms</b>                            | زمان همدوسی کانال ( $T_c$ )    |
| <b>10μs</b>                           | گسترده‌ی تأخیر کانال ( $T_d$ ) |
| <b><math>2 \times 10^6</math> بیت</b> | طول پیام ( $N$ )               |
| <b>200 بیت</b>                        | تعداد تپ‌های کانال ( $L$ )     |
| <b><math>10^4</math> بیت</b>          | تعداد زیر حامل‌ها ( $n_c$ )    |
| <b>200 بیت</b>                        | طول پیشوند گردشی ( $CP$ )      |
| <b>200 بلوک</b>                       | تعداد بلوک‌های OFDM            |

جدول ۲-۲: داده‌های کانال فرکانس گزین سیستم طراحی شده OFDM



تصویر ۲-۱: بلوک دیاگرام سیستم در فرستنده و گیرنده

مقادیر  $W$  در بلوک دیاگرام، همان مقادیر  $\sqrt{P_i^*}$  را نشان می‌دهد که به صورت زیر بدست می‌آیند.

$$x^+ = \max(x, 0)$$

$$P_i^* = \left( \frac{1}{\lambda} - \frac{N_0}{|H_i|^2} \right)^+ \rightarrow W_i = \sqrt{P_i^*}$$

$$P_{max} = \sum_{i=0}^{n_c-1} P_i^*$$

هدف این است که ظرفیت کانال باید بیشینه شود. پس مقادیر  $\lambda$  با حل مسئله بهینه سازی زیر بدست می‌آید.

$$C = \sum_{i=0}^{n_c-1} \log_2 \left( 1 + \frac{P_i |H_i|^2}{N_0} \right)$$

$$\hat{\lambda} = \max_{\lambda} (C) = \max_{\lambda} \left( \sum_{i=0}^{n_c-1} \log_2 \left( 1 + \frac{P_i |H_i|^2}{N_0} \right) \right) = \max_{\lambda} \left( \sum_{i=0}^{n_c-1} \log_2 \left( 1 + \left( \frac{|H_i|^2}{\lambda N_0} - 1 \right)^+ \right) \right)$$

$$\rightarrow \hat{\lambda} = \max_{\lambda} \left( \sum_{i=0}^{n_c-1} \log_2 \left( 1 + \left( \frac{|H_i|^2}{\lambda N_0} - 1 \right)^+ \right) \right), \quad \text{subject to } P_{max} = \sum_{i=0}^{n_c-1} P_i^*$$

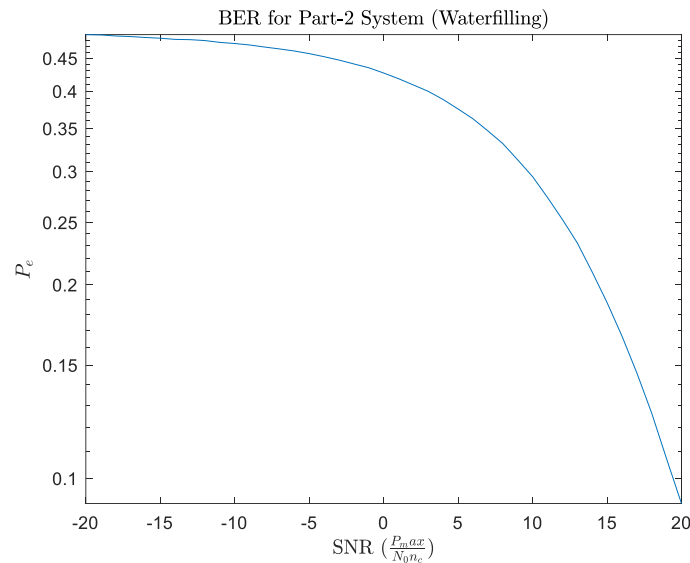
## سوال ۵. شبیه سازی سیستم سوال ۴ و رسم نمودارهای احتمال خطا و ظرفیت کانال برحسب $SNR = \frac{P_{max}}{n_c N_0}$

حال می خواهیم در مرحله اول با حل مسئله بهینه سازی و یافتن مقادیر  $\lambda$  (زیرا کانال بعد از هر  $T_c = 5ms$  تغییر می کند) ضرایب Waterfilling را بدست آورده و سیستم OFDM را پیاده سازی نمائیم. به این منظور مسئله بهینه سازی که در سوال قبل به آن اشاره شد را با استفاده از دستور fmincon حل کرده و مقادیر  $\lambda$  بهینه را بدست می آوریم. این دستور برای حل مسائل بهینه سازی با قید های خطی یا دلخواه غیرخطی استفاده می شود. برای تعریف قید غیرخطی دلخواه یک تابع در متلب تعریف می کنیم و آن را به عنوان یکی از آرگومان های ورودی به دستور fmincon می دهیم. (دقت شود با توجه به اینکه مسئله بهینه سازی یک مسئله maximization است اما دستور fmincon مسائل minimization را حل می کند، تابع هدفی که قرار است بیشینه شود را قرینه می کنیم.) مجدداً تابع هدفی که قرار است کمینه کنیم را به همراه قید با ادبیات زیر می نویسیم.

$$C = \sum_{i=0}^{n_c-1} \log_2 \left( 1 + \frac{P_i |H_i|^2}{N_0} \right) = \sum_{i=0}^{n_c-1} \log_2 \left( 1 + \left( \frac{|H_i|^2}{\lambda N_0} - 1 \right)^+ \right)$$

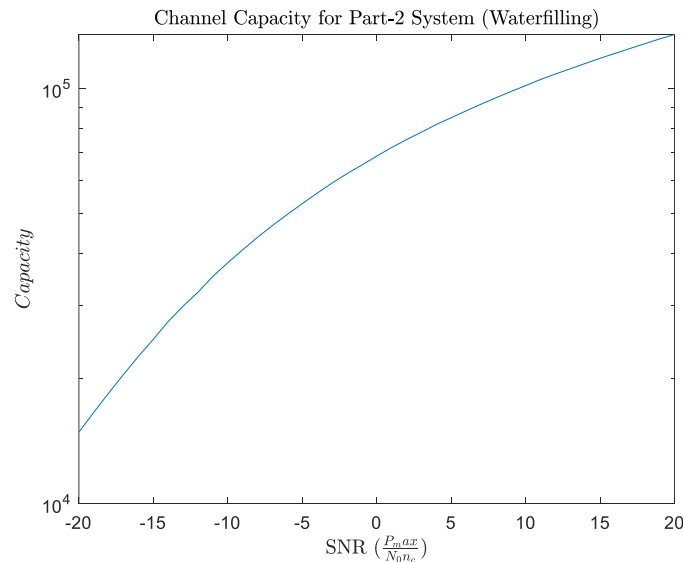
$$\hat{\lambda} = \max_{\lambda} C = \min_{\lambda} -C, \quad \text{subject to } P_{max} = \sum_{i=0}^{n_c-1} P_i^*$$

در نهایت پس از حل مسئله بهینه سازی و بدست آمدن  $\lambda$  های بهینه و محاسبه  $P_i^*$  ها، ضرایب  $W_i = \sqrt{P_i^*}$  را بدست آورده و سپس سیستم ارسالی فرستنده را پیاده سازی می کنیم ( $X_i = W_i \cdot A_i$ ). برای پیاده سازی سیستم ارسالی فرستنده نیاز به بلوک های  $IFFT_{n_c}$  و افزودن  $CP$  داریم. سپس بلوک ارسالی در گیرنده با توجه به تأثیر کانال (مطابق با تصویر ۲-۱) به صورت  $y' = x' * h$  تعریف می شود که در نهایت بعد از بلوک حذف  $CP$  خروجی به صورت  $y = x \circledast h$  می شود که بعد از  $FFT_{n_c}$  ( $H = FFT_{n_c}(h)$ ) در نهایت روی  $Y = X \cdot H$  تصمیم گیری را انجام می دهیم. (دقت شود به توضیحات بالا باید نویز هم اضافه شود). در نهایت نمودار احتمال خطای سیستم برحسب  $SNR = \frac{P_{max}}{N_0 n_c}$  در حالتی که از Waterfilling استفاده می کنیم مطابق با تصویر ۲-۲ خواهد بود.



تصویر ۲-۲: نمودار احتمال خطا بر حسب  $SNR = \frac{P_{max}}{N_0 n_c}$  در حالتی که از بلوک *Waterfilling* استفاده کنیم

همچنین نمودار ظرفیت کانال سیستم بر حسب  $SNR = \frac{P_{max}}{N_0 n_c}$  در حالتی که از *Waterfilling* استفاده می کنیم مطابق با تصویر ۲-۳ خواهد بود.



تصویر ۲-۳: نمودار ظرفیت کانال سیستم بر حسب  $SNR = \frac{P_{max}}{N_0 n_c}$  در حالتی که از بلوک *Waterfilling* استفاده کنیم

حال می خواهیم با روش دیگری این قسمت را پیاده سازی کنیم. به این خاطر مسئله بازنویسی می کنیم.

$$P_i^* = \left( \frac{1}{\lambda} - \frac{N_0}{|H_i|^2} \right)^+ = \max \left( \frac{1}{\lambda} - \frac{N_0}{|H_i|^2}, 0 \right)$$

$$P_{max} = \sum_{i=0}^{n_c-1} P_i^* = \sum_{i=0}^{n_c-1} \max \left( \frac{1}{\lambda} - \frac{N_0}{|H_i|^2}, 0 \right)$$

حال تابع هدف را به صورت زیر تعریف می‌کنیم.

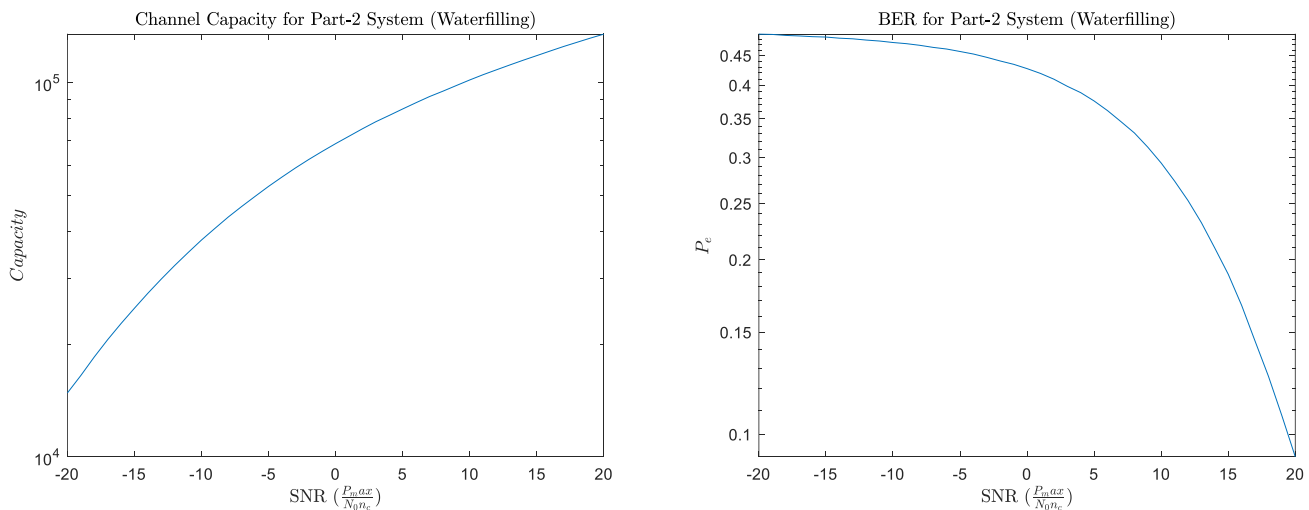
$$\begin{aligned} f(\lambda) &= P_{max} - \sum_{i=0}^{n_c-1} \max\left(\frac{1}{\lambda} - \frac{N_0}{|H_i|^2}, 0\right) \\ &= P_{max} - \max\left(\frac{1}{\lambda} - \frac{N_0}{|H_0|^2}, 0\right) - \max\left(\frac{1}{\lambda} - \frac{N_0}{|H_1|^2}, 0\right) - \dots \\ &\quad - \max\left(\frac{1}{\lambda} - \frac{N_0}{|H_{n_c-1}|^2}, 0\right) \end{aligned}$$

حال می‌خواهیم این تابع هدف را کمینه کنیم پس مسئله بهینه‌سازی را به صورت زیر تعریف می‌کنیم.

$$\hat{\lambda} = \min_{\lambda} f(\lambda) = \min_{\lambda} \left( P_{max} - \sum_{i=0}^{n_c-1} \max\left(\frac{1}{\lambda} - \frac{N_0}{|H_i|^2}, 0\right) \right)$$

با توجه به اینکه قید ما  $P_{max} = \sum_{i=0}^{n_c-1} P_i^*$  است پس نتیجه می‌گیریم،  $\lambda$  بهینه همان ریشه‌های تابع  $f(\lambda)$  است.

در نهایت با استفاده از دستور fzero می‌خواهیم  $\lambda$  های بهینه (ریشه‌های  $f(\lambda)$ ) را بدست آوریم. تصاویر ۲-۴ نمودارهای احتمال خطا و ظرفیت کانال را برای این روش پیاده‌سازی نیز نشان می‌دهد.



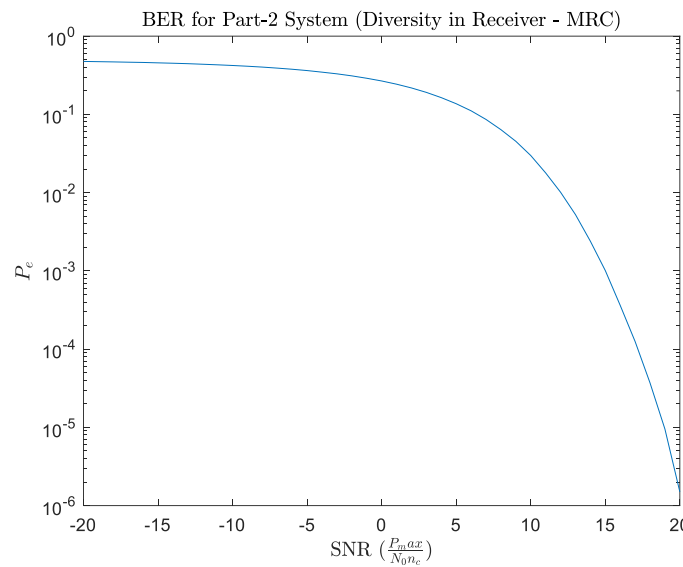
تصویر ۲-۴: نمودارهای احتمال خطا ظرفیت کانال سیستم بر حسب  $SNR = \frac{P_{max}}{N_0 n_c}$  - در حالتی که از بلوک Waterfilling استفاده کنیم - با استفاده از fzero

## سوال ۶. استفاده از روش دایورسیتی در مکان در گیرنده برای جبران محوشدگی در گیرنده

در این سوال می‌خواهیم با استفاده از ۱۰ آنتن در گیرنده، اثر محوشدگی کانال را جبران کنیم. به این منظور فرستنده سیستم جدید مشابه با فرستنده سیستم سوال قبل است با این تفاوت که بلوک Waterfilling نداریم. در نهایت پس از ارسال بلوک



OFDM، هر آنتن گیرنده از طریق یک کانال مستقل این بلوک را دریافت می‌کند و در هر آنتن بلوک دریافتی با یک نویز مستقل جمع می‌شود. حال می‌خواهیم از روش MRC در سیستم گیرنده استفاده کنیم. به این منظور ضرایب دایورسیتی (مشابه با دیاگرام تصویر ۱-۱۶) را  $\alpha_i = \frac{|H_i|^2}{N_0 n_c} e^{-j\angle H_i}$  در نظر می‌گیریم. در نهایت همه خروجی‌های ۱۰ آنتن را ترکیب (جمع) می‌کنیم و تصمیم‌گیری را روی خروجی ترکیب‌کننده انجام می‌دهیم.



تصویر ۲-۴: نمودار احتمال خطای سیستم بر حسب  $SNR = \frac{P_{max}}{N_0 n_c}$  در حالتی که از دایورسیتی در مکان استفاده کنیم

تصویر ۲-۴ نمودار احتمال خطای سیستم را برای حالتی که از دایورسیتی در مکان استفاده می‌کنیم نشان می‌دهد. همانطور که مشاهده می‌شود با استفاده از این روش با توجه به اینکه اثر محوشدگی در ۱۰ کانال مستقل است، احتمال خطای کمتری نسبت به حالتی داریم که از روش Waterfilling استفاده می‌شود.

## سوال ۷. استفاده از همسانسازهای ZF و MMSE در گیرنده برای جبران محوشدگی در گیرنده

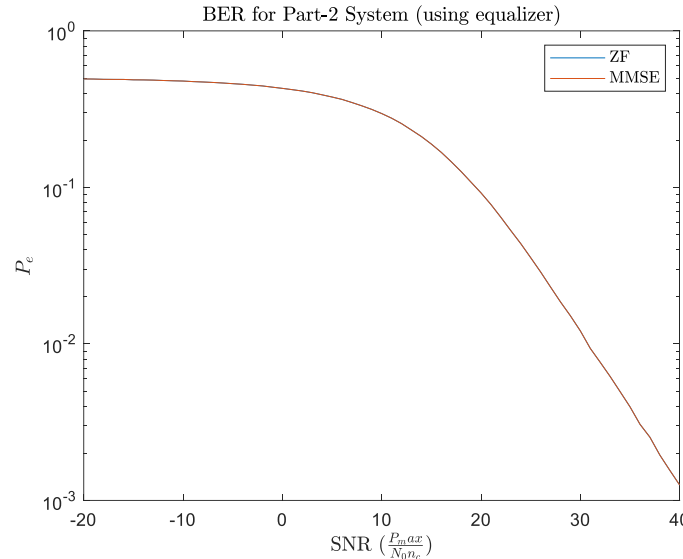
در این بخش سیستم فرستنده مشابه با سیستم فرستنده سوال ۶ است. با این تفاوت که در اینجا فقط یک گیرنده داریم و پس از دریافت بلوک ارسالی در گیرنده با فرض اینکه کانال را در گیرنده تخمین زده‌ایم همسانساز را طراحی کرده و روی خروجی سیستم گیرنده پیاده‌سازی می‌کنیم. برای طراحی همسانساز ZF صرفاً خروجی را در  $\frac{1}{H}$  ضرب می‌کنیم. برای طراحی همسانساز MMSE

صرفاً خروجی را در  $\frac{H^*}{|H|^2 + \frac{\sigma_n^2}{\sigma_s^2}}$  ضرب می‌کنیم.

$$\text{ZF equalizer: } W_i = \frac{1}{H_i}$$

$$\text{MMSE equalizer: } W_i = \frac{H^*}{|H|^2 + \frac{\sigma_n^2}{\sigma_s^2}}$$

در نهایت تصویر ۲-۵ نمودار احتمال خطای سیستم برای همسانساز ZF و MMSE را نشان می‌دهد.

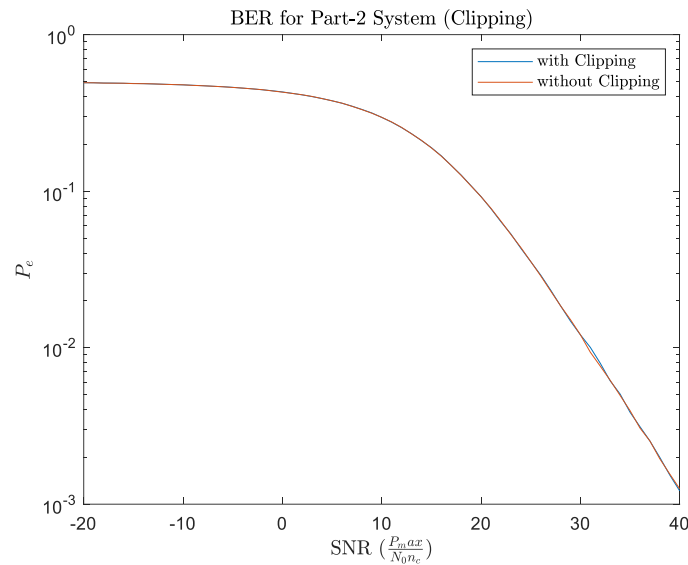


تصویر ۲-۵: نمودار احتمال خطای سیستم بر حسب  $\text{SNR} = \frac{P_{\max}}{N_0 n_c}$  در حالتی که از همسانساز استفاده کنیم

همانطور که در این نمودار مشاهده می‌شود همسانسازهای ZF و MMSE نتایج مشابهی دارند. همچنان انتظار داریم نتایج این همسانسازها با نتایج استفاده از Watrefilling یکسان باشد.

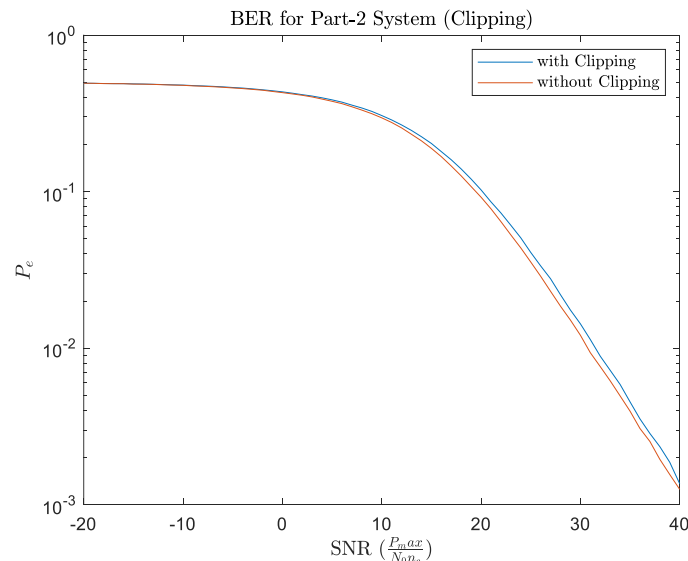
### سوال ۸. تأثیر اثر Clipping در نمودار احتمال خطا

همانطور که می‌دانیم به علت غیرخطی بودن تقویت کننده موجود در فرستنده و همچنین زیاد شدن دامنه به دلیل استفاده از IFFT، در دامنه‌های خیلی بزرگ بلوک ارسالی دچار Clipping می‌شود. به این منظور در پیاده سازی‌ها فاز همه سمبل‌ها را ثابت نگه می‌داریم و اندازه سمبل‌های بزرگ‌تر از  $0.8 \max |X_k|$  را برابر  $0.8 \max |X_k|$  قرار می‌دهیم. همچنین در خروجی گیرنده از همسانساز MMSE برای حذف اثر محوشدگی استفاده می‌کنیم. تصویر ۲-۶ نمودار احتمال خطای سیستم در حالتی که اثر Clipping در فرستنده داریم را نشان می‌دهد.



تصویر ۲-۶: نمودار احتمال خطای سیستم بر حسب  $SNR = \frac{P_{max}}{N_0 n_c}$  - در حالتی که در فرستنده اثر Clipping استفاده کنیم (برای  $0.8 \max|X_k|$ )

همچنین تصویر ۲-۷ نمودار احتمال خطا سیستم در حالتی که اثر Clipping برای  $0.5 \max|X_k|$  در فرستنده داریم را نشان می‌دهد. همانطور که در این تصویر مشاهده می‌شود احتمال خطا در حالتی که اثر Clipping در  $0.5 \max|X_k|$  بیشتر شده است. دلیل این امر این است که بلوک ارسالی تغییر کرده است و مشخص نیست چه تغییری در سمبل‌های دریافتی ایجاد شود. در نتیجه در گیرنده شاهد خطا خواهیم بود.

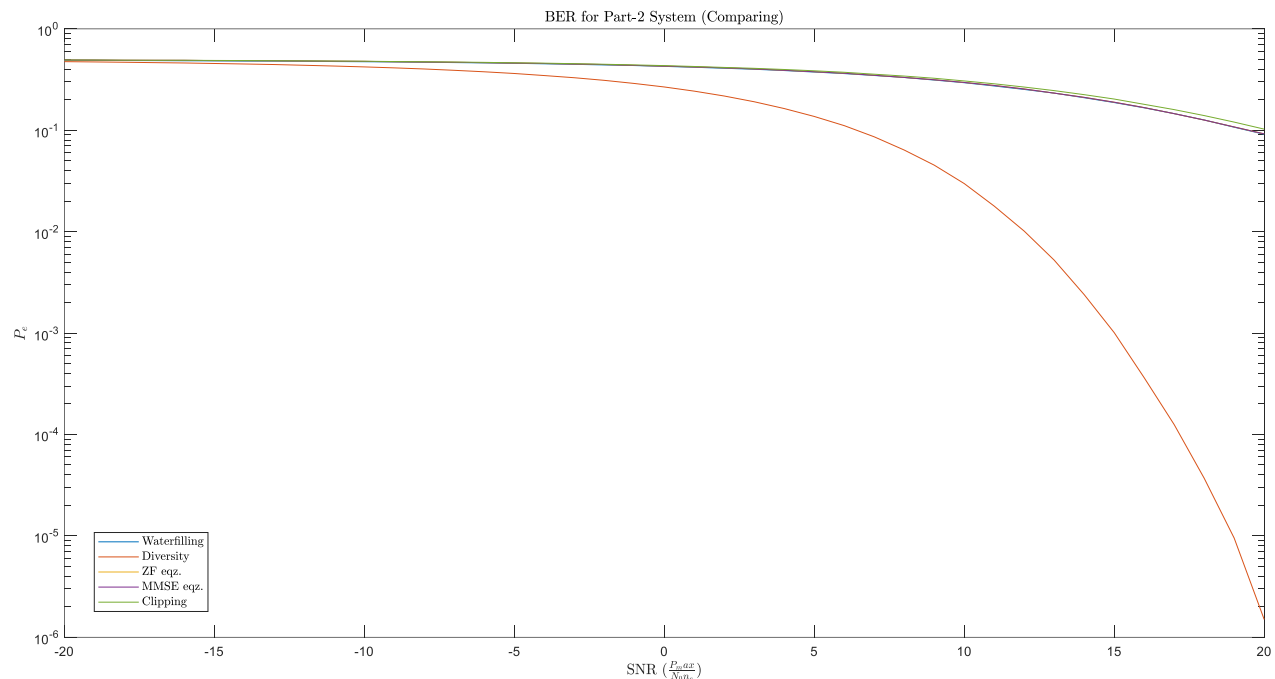


تصویر ۲-۷: نمودار احتمال خطای سیستم بر حسب  $SNR = \frac{P_{max}}{N_0 n_c}$  - در حالتی که در فرستنده اثر Clipping استفاده کنیم (برای  $0.5 \max|X_k|$ )

در نهایت تصویر ۲-۸ نمودار احتمال خطا برای سوالات ۵ تا ۸ را در یک تصویر نشان می‌دهد. می‌توانیم برداشت‌های زیر را از این بخش داشته باشیم:

۱- نمودارهای احتمال خطا هنگامی که از MMSE، ZF یا Waterfilling استفاده می کنیم کاملاً یکسان است (چون در هر دو صورت اثر کانال حذف می شود).

۲- هنگامی که اثر Clipping داریم احتمال خطا افزایش پیدا می کند.



تصویر ۲-۸: مقایسه نمودار احتمال خطای سیستم های سوالات ۵ تا ۸ بر حسب  $SNR = \frac{P_{max}}{N_0 n_c}$

۳- هنگامی که از دایورسیتی در مکان استفاده کنیم، احتمال خطا به شدت کاهش می یابد. دلیل این امر این است که وقتی از چند آنتن گیرنده استفاده کنیم علاوه بر حذف شدن اثر محوشدگی، اثر نویز نیز کاهش پیدا می کند و در نهایت احتمال خطای کل کاهش می یابد.